

# زمین‌شناسی، کانی‌شناسی، دگرسانی و مطالعه میانبارهای سیال در کانسار مس- مولیبدن پورفیری جانجا، پهنه زمین درز سیستان، جنوب خاور ایران

نیما رحیمی<sup>۱</sup>، شجاع الدین نیرومند<sup>۱\*</sup>، محمد لطفی<sup>۱</sup> و مجتبی رحیمی شهید<sup>۲</sup><sup>۱</sup>گروه زمین‌شناسی اقتصادی، دانشکده زمین‌شناسی، دانشگاه تهران، تهران، ایران<sup>۲</sup>گروه زمین‌شناسی، دانشکده علوم، دانشگاه فردوسی مشهد، مشهد، ایران

## چکیده

کانسار مس- مولیبدن پورفیری جانجا در فاصله ۷۰ کیلومتری جنوب نهبندان و در پهنه ساختاری زمین درز سیستان، خاور ایران واقع شده است. کانه‌زایی در این کانسار در ارتباط با استوک دیوریتی، کوارتزدیوریتی تا گرانودیوریتی با بافت گرانولار تا پورفیری است که درون واحدهای فیلیشی کرتاسه جای گرفته است. از نظر ژئوشیمیایی توده نفوذی جانجا دارای ترکیب کالک‌آلکالن و متا‌آلومینوس و از گرانیتوییدهای تیپ I می‌باشد که در یک محیط فروراش حاشیه قاره‌ای جایگزین شده است. فعلیت‌های گرمابی منطقه کاملاً تحت تأثیر توده نفوذی جانجا رخداده و در اثر فعالیت این سیالات گرمابی، انواع دگرسانی‌های پتانسیک، آرژیلیک و به ندرت فیلیک تشکیل شده‌اند. کانه‌زایی در کانسار جانجا به صورت افسان و رگه-رگچه (داربستی) و عمدتاً در پهنه پتانسیک رخداده است. پهنه‌های کانه‌زایی شامل پهنه درونزاد، پهنه غنی شده بروزناز و پهنه اکسیدی در کانسار جانجا است. مجموعه کانه‌های سولفیدی شناسایی شده در این کانسار شامل کالکوپیریت، پیریت، کوولیت، کالکوپیریت، مولیبدنیت، بورنیت و کانه‌های اکسیدی شامل مگنتیت، هماتیت، گوتیت و هیدروکربنات‌های مس شامل مالاکیت و آزوریت می‌باشد. طلا و مولیبدن نیز عمدتاً در همراهی با کانه‌های سولفیدی مس از جمله کالکوپیریت و بورنیت می‌باشد. مطالعات میانبارهای سیال رگه‌های کوارتز- سولفیدی مربوط به پهنه دگرسانی پتانسیک در این کانسار شانده محدوده دمای همگن شدن ۳۰۱ تا ۴۸۰ درجه سانتی گراد و میانگین شوری ۱۹ درصد وزنی معادل نمک طعام برای میانبارهای آبگین و محدوده دمای همگن شدن ۲۵۴ تا ۵۵۰ درجه سانتی گراد و میانگین شوری ۵۴ درصد وزنی معادل نمک طعام برای میانبارهای سیال بسیار شور می‌باشد. نتایج این مطالعات نشان می‌دهد که در کانسار جانجا فریندهای اختلاط و سرد شدن سیالات باعث نهشت کانه‌زایی مس- مولیبدن- (طلا) شده است. در نهایت با توجه به ویژگی‌های کانسار جانجا، از جمله محیط زمین‌ساختی، سنگ میزبان، کانی شناسی، ویژگی‌های سیال کانه‌ساز، محتواهای فلزی، نوع کانه‌زایی و دگرسانی‌ها و مقایسه این ویژگی‌ها با کانسارهای پورفیری می‌توان نتیجه گرفت که کانه‌زایی در کانسار جانجا قابل مقایسه با کانسارهای مس- مولیبدن- (طلا) پورفیری نوع حاشیه قاره‌ای می‌باشد.

## اطلاعات مقاله

تاریخچه مقاله:

تاریخ دریافت: ۱۴۹۹/۱۲/۰۳

تاریخ پذیرش: ۱۴۰۰/۱۰/۲۱

تاریخ انتشار: ۱۴۰۱/۰۷/۰۱

### کلیدواژه‌ها:

پهنه زمین درز سیستان

کانسار مس- مولیبدن پورفیری

جانجا

میانبارهای سیال

اختلاط

## ۱- پیش‌نوشتار

کمریندهای فلززایی شناخته شده در ایران از جمله کمریند ماگمایی ارومیه- دختر Richards, 2015; Zaravandi et al., 2015; Asadi et al., 2014;) و کمریند دگرگونی سنتدج- سیرجان (Aghazadeh et al., 2015; Mohajjel et al., 2003; Mohajjel and Fergusson, 2014; Alyari et al., 2012) که تحقیقات فراوانی بر روی پتانسیل کانه‌زایی آنها انجام شده است، کمریند فلززایی خاور و جنوب خاور ایران به ویژه ایالت فلززایی زمین درز سیستان (SSZ)، با وجود پتانسیل بالا در تشکیل مواد معدنی به صورت ناشناخته مانده است که لزوم مطالعات بیشتر در این منطقه را منطقی و ضروری می‌نماید. این نوشتار را می‌توان اولین کار پژوهشی انجام شده بر روی کانسار مس- مولیبدن پورفیری جانجا در نظر گرفت. هدف از این مطالعه، انجام مطالعات زمین‌شناسی، سنگ‌شناسی، دگرسانی، ژئوشیمی سنگ کل، کانه‌زایی، مطالعه میانبارهای سیال و در نهایت تعیین ژئوگرافی کانسار مورد

کمریند کوهزایی و فلززایی تیس با مجموعه متنوعی از انواع ذخایر فلزی همچون کانسارهای آتششانی سولفید توده‌ای، کانسارهای طلا ای ترمال، طلا کوهزایی، کانسارهای اسکارنی و کانسارهای مس- مولیبدن- طلا پورفیری همراهی می‌شوند (Baker et al., 2016; Imer et al., 2016; Razique et al., 2014). قرار گیری ایران در بخش میانی این کمریند فلززایی و داشتن یک محیط ژئو-دینامیکی با پتانسیل بالا در تشکیل انواع کانسارها تبدیل شود (Richards and Sholeh, 2016; Richards, 2015; Hezarkhani, 2008; Waterman and Hamilton, 1975; Houet et al., 2013) و کانسار ای ترمال داشکسن (ساری گونای) در شمال باختر ایران (McInnes et al., 2003) بزرگ پورفیری مانند سونگون در شمال باختر ایران (Richards et al., 2006) سرچشمde در جنوب خاور ایران (Houet et al., 2013) در شمال باختر ایران (McInnes et al., 2003) و کانسار ای ترمال داشکسن (ساری گونای) در شمال باختر ایران (Richards et al., 2006) گواهی بر این موضوع هستند. برخلاف

doi: 10.22071/GSJ.2022.274408.1889

\* نویسنده مسئول: شجاع الدین نیرومند؛ E-mail: Niroomand@ut.ac.ir

dor: 20.1001.1.10237429.1401.32.3.6.0

حقوق معنوی مقاله برای فصلنامه علوم زمین و نویسنده‌گان مقاله محفوظ است.

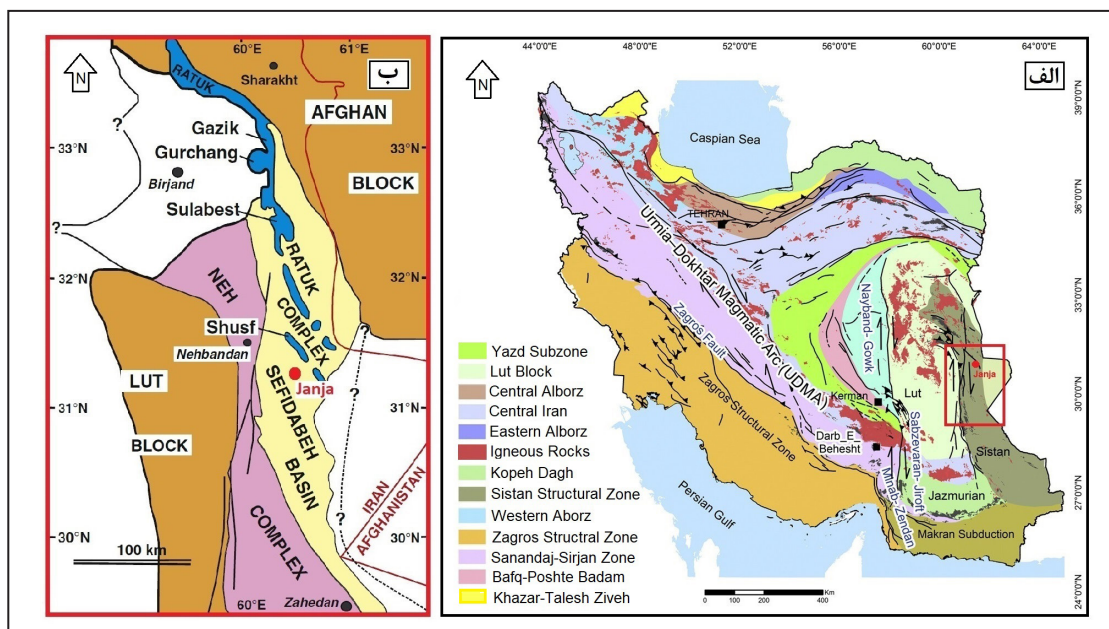
This is an open access article under the by-nc/4.0/ License (<https://creativecommons.org/licenses/by-nc/4.0/>)

مرز ایران- افغانستان گسترش یافته و متعلق به کمربند کوه‌زایی آلب- هیمالیا است (Tirrul et al., 1983). این پهنه حاصل بسته شدن اقیانوس سیستان بین بلوک قاره‌ای لوت در باخته و بلوک افغان در خاور طی کرتاسه پیشین- پالئوسن است (Agard et al., 2011; ۵۵- ۱۲۰ میلیون سال؛ Camp and Griffins, 1982)؛ پهنه زمین درز سیستان از دو بخش اصلی زمین‌شناسی با ویژگی‌های لیتو- تکتونیکی متفاوت خود از جمله گوههای برافرازیشی رتوک و نه؛ و حوضه پیش‌کمان سفیدآبه تشکیل شده است (شکل ۱- ب). کمپلکس نه، بخش بیرونی گوه برافرازیشی یک کمربند چین‌خورده و رانده می‌باشد و از افیولیت‌های نابر جا، سنگ‌های دگرگونی و توربیدیات‌های ژرف تشکیل شده است (Mohammadi et al., 2016). کمپلکس سفیدآبه، بخش میانی گوه برافرازیشی را تشکیل می‌دهد که توسط رسوبات آواری و آذرآواری به همراه میان‌لایه‌های کربناته و گدازه‌های کالک‌آلکالن پوشیده شده است و میزان کاسیار مس- مولیبدن پورفیری جانجا است. بخش درونی گوه برافرازیشی نیز کمپلکس رتوک است که یک سامانه برهم- افزایشی متراکم از رسوبات دگرگون شده، گدازه آتشفسانی و متابولیت است (Mohammadi et al., 2016).

مطالعه است که با توجه به امکان حضور سامانه‌های پورفیری مذکون در این بخش از ایران، می‌توان از آن برای ارائه یک مدل اکتشافی و بررسی توان معدنی منطقه با امکان کاربرد اکتشافی برای مطالعات آینده استفاده کرد.

## ۲- زمین‌شناسی فاصله‌ای

کاسیار مس- مولیبدن پورفیری جانجا با مختصات جغرافیایی ۳۱ درجه و ۰۷ دقیقه و ۴۴ نایه عرض شمالی و ۶۰ درجه و ۲۲ دقیقه و ۴۵ ثانیه طول خاوری، در فاصله ۲۱۰ کیلومتری شمال زاهدان و در پهنه زمین درز سیستان قرار گرفته است (شکل ۱- الف) که بر اساس (Boomeri (2014) یکی از ایالت‌های فلز‌زایی در بخش جنوب خاور ایران است که کانه‌زایی‌های مختلفی از جمله سامانه‌های رگه‌ای تا جانشینی مس- سرب- نقره (چهل کوره)، رگه‌های فلات پایه و سامانه‌های پورفیری مس- مولیبدن- طلا (آساگی و کوه‌لار)، سامانه‌های اسکارن مس- طلا- سرب- روی مرتبط با پورفیری‌های مس (سیاستارگی) را در بردارد (Maanijou et al., 2013; Karimpour et al., 2012; Boomeri et al., 2019). پهنه زمین درز سیستان با طول بیش از ۱۰۰۰ کیلومتر از شمال تا جنوب در امتداد

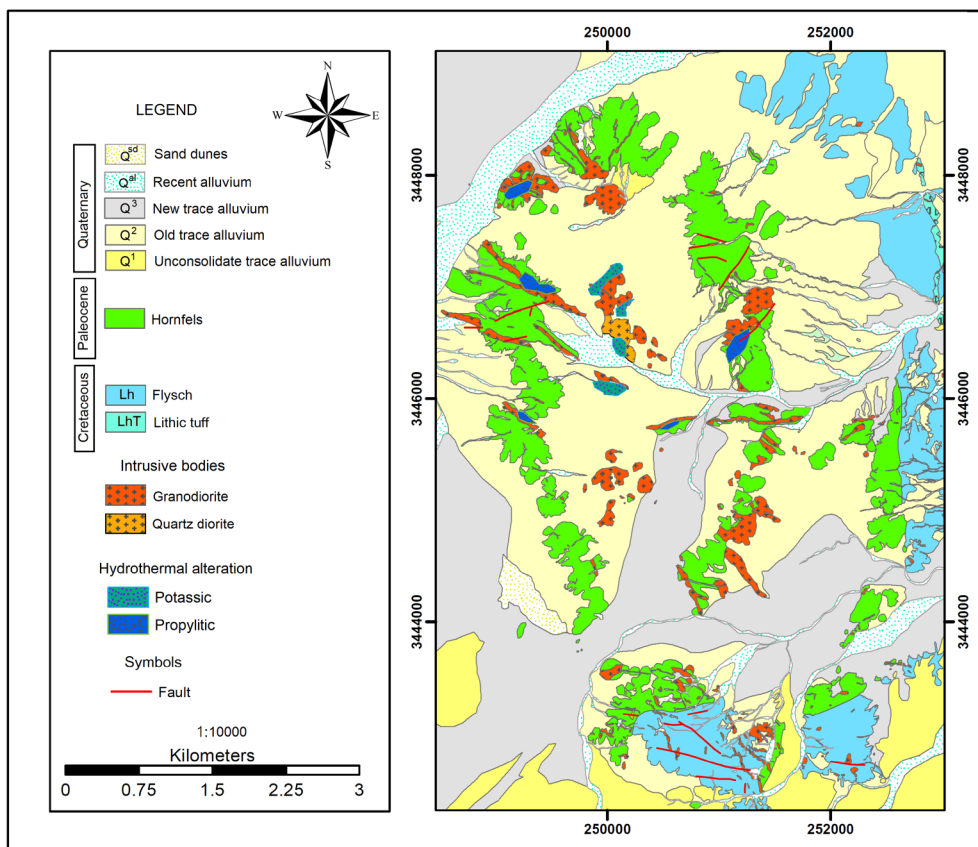


شکل ۱- الف) نقشه پهنه‌های زمین‌ساختی- ساختاری ایران (Sahandi, 2013); ب) نقشه زمین‌شناسی ساده‌شده از پهنه ساختاری زمین‌درز سیستان (Footohi Rad, 2004).

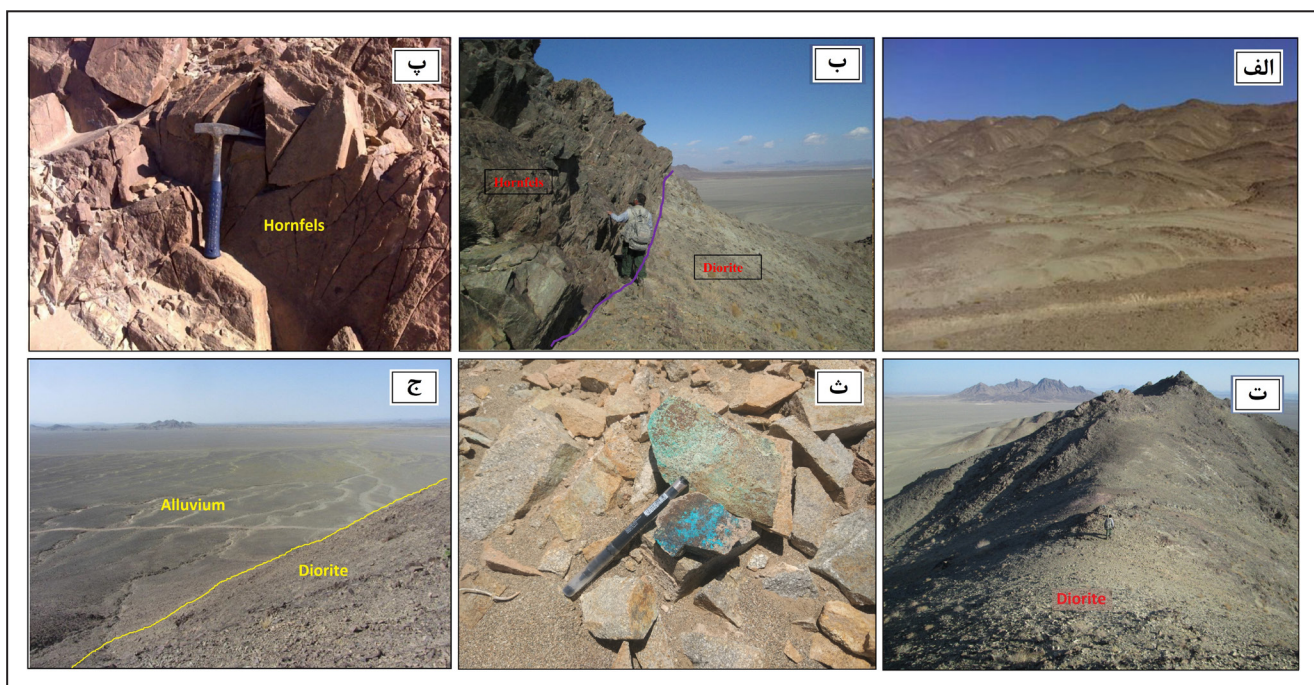
## ۳- زمین‌شناسی کاسیار جانجا

استوک دیوریتی تا گرانودیوریتی رخمنون یافته در بخش مرکزی منطقه توسط نهشته‌های آبرفتی و تپه‌های شنی متعلق به کواترنر پوشیده شده است، اما در بخش شمالی کاسیار دارای رخمنون است (شکل ۳- ت). با وجود گسترش سطحی محدود، حفاری‌های انجام شده، نشان‌دهنده گسترش توده یادشده در ژرفای زیاد می‌باشد. به گونه‌ای که حفاری‌های انجام شده از گسترش کانه‌زایی تا ژرفای ۷۰۰ متری حکایت دارد. همچنین کانه‌زایی مس از جمله مالاکیت و آزویریت بر روی بخش سطحی این توده نفوذی قابل مشاهده است (شکل ۳- ث). بخش عمدۀ واحدهای سنگی این منطقه را رسوبات عهد حاضر از جمله تپه‌های ماسه‌ای و تراس‌های آبرفتی قدیم و جدید تشکیل می‌دهند (شکل ۳- ج).

به طور کلی، واحدهای سنگی رخمنون یافته در کاسیار جانجا شامل سنگ‌های فیلیشی با سن کرتاسه بالایی، واحدهای آذرآواری پالئوسن مربوط به سازند سفیدآبه، سنگ‌های آذین نیمه‌ژرف متعلق به پالئوزن و سنگ‌های دگرگونی عمدتاً با ترکیب هورنفلس است (شکل ۲). واحدهای فیلیش کرتاسه با جنس ماسه‌سنگ، ماسه‌سنگ آهکی، شیل، سیلتستون و رسوبات آذرآواری، کهن‌ترین واحدهای سنگی منطقه را شامل می‌شوند و بخش خاوری و جنوبی منطقه را پوشش می‌دهند (شکل ۳- الف). رخمنون‌های مرتفع و سنگی منطقه نیز عمدتاً از جنس هورنفلس با سن پالئوسن می‌باشند که در اثر نفوذ استوک دیوریتی تا گرانودیوریتی در بخش مرکزی منطقه و ایجاد دگرگونی مجاورتی تشکیل شده‌اند (شکل ۳- ب، پ). بخش عمدۀ ایز



شکل ۲- نقشه زمین‌شناسی کانسار مس- مولیبدن پورفیری جانجا (با تغییرات از ۲۰۱۶، Pars Olang)



شکل ۳- نمایی از واحدهای سنگی رخمنون یافته در کانسار جانجا. (الف) توالی رسوبات آواری و فیلیشی کرتاسه (دید به سمت شمال خاور)؛ (ب) سطح تماس بین توده دیوریتی و واحدهای هورنفلسی (دید به سمت خاور)؛ (ب') واحد هورنفلسی به رنگ زرد نخودی و آثار لایه‌بندی اولیه؛ (ت) رخمنون توده نفوذی دیوریتی در بخش شمالی محدوده (دید به سمت شمال)؛ (ث) آتشتنگی به ملاکیت و آزوریت در واحد دیوریتی؛ (ج) نمایی از نهشته‌های کواترنری (دید به سمت جنوب).

#### ۴- روش مطالعه

از رگه- رگچه‌های کوارتز همراه با مجموعه‌های سولفیدی پیریت- کالکوپیریت در پهنه پتاسیک تهیه شد. سپس مطالعات ریزدماسنجی و سنگ‌شناسی میانبارهای سیال با استفاده از میکروسکوپ استاندارد سنگنگاری مدل Leiss، یک استیج گرمایش- سرمایش مدل THMSG600 THMSG600 ساخت شرکت Linkham مجهز به پمپ تزریق نیتروژن مدل LNP، دستگاه کنترل دما مدل TMS94 و پمپ تزریق آب (ویژه دمایهای بالا) در آزمایشگاه میانبارهای سیال دانشگاه تهران بر روی ۷۶ میانبار سیال انجام پذیرفت. دقت و صحت استاندارد این دستگاه در محدوده دمایی ۱۹۶- تا ۶۰۰ درجه سانتی گراد،  $\pm 0.1$  سانتی گراد است. کالیبراسیون دستگاه در مرحله گرمایش با دقت  $\pm 0.6$  درجه سانتی گراد و با نیترات سزیم با نقطه ذوب ۴۱۴ درجه سانتی گراد و در مرحله سرمایش با دقت  $\pm 0.2$  و با ماده استاندارد ان‌هگران (n-Hexane) با نقطه ذوب  $-94.3^{\circ}\text{C}$  درجه سانتی گراد انجام شد. شوری و جگالی میانبارهای  $\text{NaCl}-\text{H}_2\text{O}$  غنی از مایع نیز با استفاده از آخرین دمای ذوب بخ در نرم افزار sowatflinc-inclusion نسخه ۲۰۰۷ محاسبه شد.

به منظور بررسی چگونگی رخداد کانه‌زایی در کانسار جانجا، ابتدا پیمایش‌های صحرایی در منطقه مورد مطالعه انجام و روابط صحرایی حاکم بر کانه‌زایی و رابطه آن با بخش‌های مختلف توده نفوذی شناسایی شد. سپس به منظور انجام مطالعات سنگنگاری و کانه‌نگاری از توده‌های نفوذی، واحدهای سنگی رخمنون یافته در منطقه و رگه‌های کوارتزی موجود در مغزه‌های حفاری مورد نمونه‌برداری قرار گرفت و سپس ۷۵ عدد مقطع نازک و ۴۵ عدد مقطع صیقلی تهیه شد. پس از مطالعه میکروسکوپی نمونه‌ها در آزمایشگاه سنگ‌شناسی دانشگاه تهران، به منظور تشخیص ویژگی‌های سنگ‌شناسی و بافتی، ۸ نمونه فاقد دگرسانی از ICP-MS و XRF و فرعی به کمک روش در شرکت زرآما تجزیه شد. دقت آنالیز اکسیدهای اصلی در حد  $0.01$  درصد و برای عناصر فرعی و کمیاب حدود  $0.1$  گرم در تن می‌باشد. نتایج در جدول ۱ ارائه شده است. همچنین به منظور مطالعه میانبارهای سیال در کانسار جانجا، از مغزه‌های حفاری نمونه‌برداری انجام شد و پس از بررسی، ۳ عدد مقطع دویزیل

جدول ۱- نتایج تجزیه شیمیابی توده‌های نفوذی نیمه‌ثرف در کانسار جانجا.

	J-1	J-2	J-3	J-4	J-5	J-6	J-7	J-8
<b>SiO<sub>2</sub></b>	65.17	57.61	59.32	69.65	56.13	61.35	68.62	65
<b>TiO<sub>2</sub></b>	0.47	1.33	0.64	0.45	1.2	0.38	0.43	0.63
<b>Al<sub>2</sub>O<sub>3</sub></b>	16.95	13.63	15	15.79	14.25	14.72	16.13	13.29
<b>Fe<sub>2</sub>O<sub>3</sub></b>	5.9	11.31	5.66	5.01	12.2	4.16	3.91	5.48
<b>MnO</b>	0.08	0.1	0.1	0.08	0.12	0.07	0.07	0.08
<b>MgO</b>	3.14	4.39	4.22	2.69	3.1	2.85	2.74	5.45
<b>CaO</b>	6.6	3.99	7.69	5.18	5.01	6.38	5.71	5.75
<b>Na<sub>2</sub>O</b>	3.18	3.06	2.51	2.69	3.21	3.53	3.65	3.36
<b>K<sub>2</sub>O</b>	1.49	0.74	1.84	2.14	0.60	1.48	2.36	2.04
<b>P<sub>2</sub>O<sub>5</sub></b>	0.19	0.23	0.25	0.22	1.94	0.21	0.25	0.26
<b>LOI</b>	1.69	1.25	0.86	1.64	0.7	1.35	1.42	1.95
<b>Total</b>	103.57	97.59	97.23	103.9	101.05	101.14	103.97	101.44
<b>Ba</b>	274.2	414.7	120.1	59.7	200	109.3	135	98.4
<b>Rb</b>	67.5	57.3	62.3	77	101	57.8	72.1	75.3
<b>Sr</b>	708.5	543.8	964	729.8	895.1	899.8	893	696
<b>Zr</b>	182.5	174.6	234.2	217.9	256	240	269.5	218.7
<b>Nb</b>	10.6	10.4	5.5	6.3	5.8	9.1	6.8	5.6
<b>Ni</b>	16.8	13.2	16.7	12.4	17.3	16.4	9.7	90.6
<b>Co</b>	18.4	42.2	18.3	13.6	14.6	8.6	8.1	18
<b>Zn</b>	98.3	115.9	108.4	100.4	98.7	85.5	362.5	89.2
<b>Cr</b>	47.9	38	40.1	67.1	54.2	54.4	35.9	217.8
<b>La</b>	31.3	16.2	36.2	36.8	65.2	27.2	60.6	42.4
<b>Ce</b>	83.9	57.6	120.3	127.7	125.8	110	160.6	117.4
<b>Nd</b>	40.2	54.3	27.9	32.6	65.3	42.7	26.6	42.7
<b>Sm</b>	4.9	2.2	7.2	5.5	3.7	4	3.5	2.9
<b>Eu</b>	1.7	1.4	1.5	1.7	1.6	1.8	1.8	1.6
<b>Tb</b>	1.7	3.4	1.7	1.5	2.1	1.1	1.1	1.6
<b>Yb</b>	4.5	1.8	3.5	2.1	3.5	3.6	3.9	9.9
<b>Y</b>	2.7	21.2	20.7	21.1	19.2	20.3	21.1	20.9
<b>Cs</b>	14.6	16.4	8	20.9	15.3	11	14.8	22.7
<b>Ta</b>	60	79.2	3.6	18.1	4.8	16.2	53.3	4.2
<b>Hf</b>	2.8	5.3	7.1	3.1	5.6	6.1	4.7	4.5

## ۵- سنگ‌نگاری

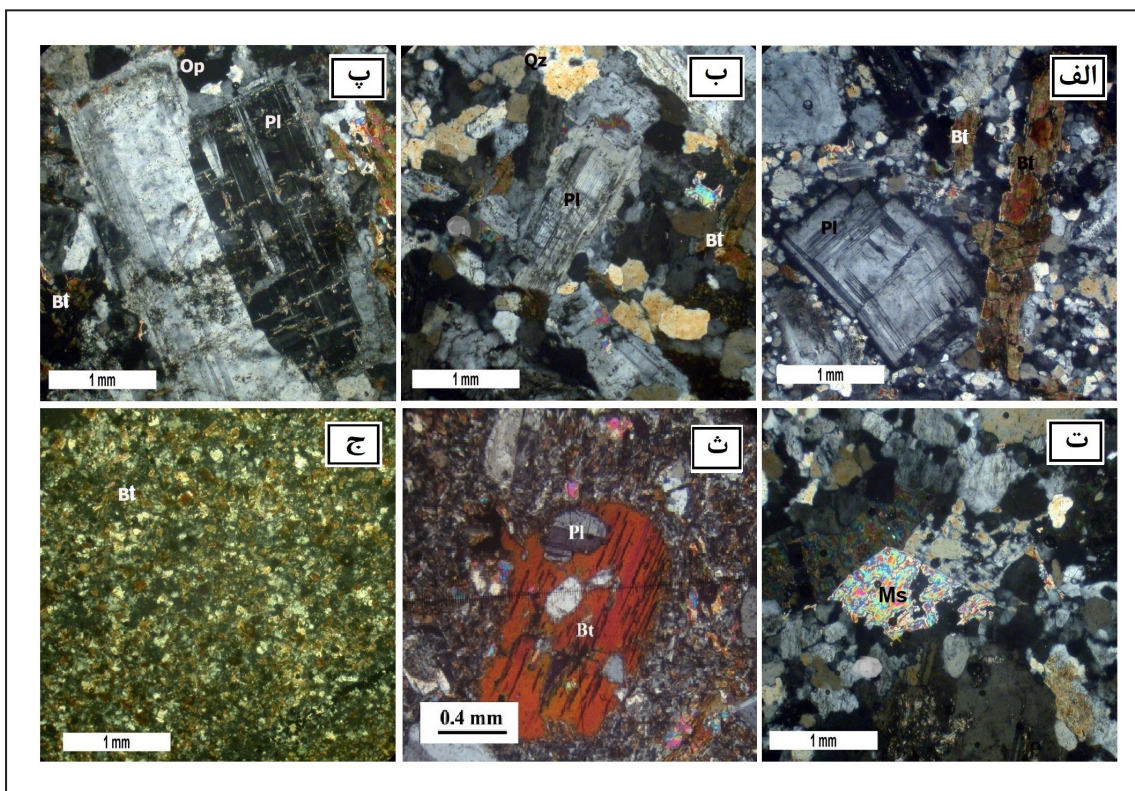
### ۱- واحد نفوذی نیمه‌زرف

موسکوویت دانه‌ریز و اندریت به صورت جزئی در برخی نمونه‌ها قابل مشاهده است (شکل ۴-ت). بیوتیت و آمفیبول کانی‌های مافیک تشکیل دهنده سنگ می‌باشند. بیوتیت به صورت ورقه‌ای تابی شکل و با چند رنگ قهوه‌ای تا زرد کم رنگ در این واحد سنگی دیده می‌شود (شکل ۴-ث).

### ۲- واحد دگرگونی هورنفلس

این واحد سنگی رخمنون‌های مرتفع منطقه را تشکیل می‌دهد و در اثر نفوذ استوک دیوریتی تا گرانوودیوریتی به درون واحدهای فیلیشی و آذرآواری کرتاسه و ایجاد دگرگونی مجاورتی تشکیل شده است. واحد هورنفلسی، یک سنگ دگرگونی مجاورتی از نوع بیوتیت هورنفلس می‌باشد که از فرایند دگرگونی مجاورتی یک سنگ اوایله سیلتستونی تشکیل شده است. کانی‌های اصلی تشکیل دهنده این واحد سنگی شامل کوارتز و بیوتیت و کانی فرعی شامل فلدسپار قلیابی می‌باشد (شکل ۴-ج).

توده‌های نفوذی رخمنون‌یافته در کانسار جانجا دارای ترکیب دیوریت تا کوارتز دیوریت و گرانوودیوریت می‌باشند و تنها بخشی از این توده‌ها رخمنون سطحی دارند و نتایج مطالعات ژئوفیزیکی و حفاری گمانه‌های اکتشافی در بخش مرکزی کانسار نشان از گسترش عمقی یک استوک در بخش میانی واحدهای هورنفلسی و در زیر واحدهای کوارتنری دارد. به طوری که واحدهای هورنفلسی به دلیل ایجاد دگرگونی مجاورتی ناشی از نفوذ استوک گرانوودیوریتی بخش حاشیه‌ای این توده را فراگرفته است. این واحدهای نفوذی نیمه‌زرف دارای بافت دانه‌ای تا نیمه‌دانه‌ای و پورفیری بوده و بلورها به صورت نیمه‌شکل دار تا بی‌شکل می‌باشند (شکل ۴-الف، ب، پ). کانی‌های اصلی این واحدهای سنگی شامل پلازیوکلاز، کوارتز و فلدسپار قلیابی می‌باشند. بلورهای پلازیوکلاز غالب سنگ را تشکیل می‌دهند و دارای ماکلهای کارلسپاد و پلی‌ستیک می‌باشند (شکل ۴-پ). فلدسپارهای قلیابی نیمه‌شکل دار بوده و عمدها اطراف پلازیوکلازها را فراگرفته‌اند. بلورهای کوارتز نیمه‌شکل دار تا بی‌شکل بوده و فضای بین بلورهای دیگر را اشغال کرده‌اند. کانی‌های ثانویه



شکل ۴ - تصاویر میکروسکوپی از واحدهای سنگی و کانی‌های تشکیل دهنده آنها در کانسار جانجا. (الف) واحد کوارتزدیوریتی با بافت پورفیری؛ (ب) واحد گرانوودیوریتی با بافت گرانولار و حضور گسترده درشت بلورهای پلازیوکلاز (Pl)؛ (پ) بلور پلازیوکلاز (Pl) با ماکل کارلسپاد در واحد گرانوودیوریتی؛ (ت) کانی موسکوویت (Ms) به همراه اندریت (Anh) در واحد گرانوودیوریتی؛ (ث) حضور کانی بیوتیت اوایله (Bt) در واحد دیوریتی؛ (ج) واحد بیوتیت هورنفلس مشکل از کانی‌های بیوتیت ثانویه (Bt)، کوارتز (Qz) و کانی کدر (Op). عالم اختصاری کانی‌ها از (Whitney and Evans, 2010).

دارای بافت ریزبلورین می‌باشند. همچنین به دلیل وجود زمینه کاملاً ریزدانه می‌توان گفت که بلور دوباره در این واحد سنگی رخ داده است و بافت آنها به صورت ریزدانه می‌باشد. کانی‌های مافیک به صورت ورقه‌های بیوتیت در این واحد سنگی دیده می‌شود.

سنگ‌های آذرآواری در کانسار جانجا به همراه واحد فیلیشی کرتاسه به صورت توف و در سترهای متفاوت حضور دارند. این واحد سنگی در رخمنون‌های صحرایی به رنگ قهوه‌ای تا سبز تیره است. کانی‌های موجود در سنگ شامل فلدسپار قلیابی، کوارتز و به ندرت کانی‌های اپک می‌باشند. این واحد سنگی

### ۳. واحد آذرآواری

**۶- دگرسانی گرمابی****۱-۶- دگرسانی پتاسیک**

سریسیتی است. کانی‌های خانواده اپیدوت حاصل دگرسانی پلاژیوکلاز و آمفیبول موجود در توده گرانودیوریتی می‌باشدند (شکل ۵- پ و ت). تحت تأثیر این نوع دگرسانی در گرانودیوریت‌های منطقه جانجا، کانی آمفیبول طی فرایند کلریتی شدن به طور کامل به کانی ثانویه کلریت تبدیل شده است.

**۳-۶- دگرسانی فیلیک**

این دگرسانی به طور محدود و عمده‌تاً به صورت رگه‌های حاوی کوارتز و سریسیت در بخش سطحی کانسار جانجا مشاهده می‌شود و نشانه‌ای از یک پهنه گستردگی از این نوع دگرسانی در کانسار جانجا نیست. دگرسانی فیلیک با گسترش محدود و شدتی ضعیف، دگرسانی پتاسیک را تحت تأثیر قرار داده است. طی این دگرسانی، پلاژیوکلازها در سطوح رخ و شکستگی‌ها به سریسیت تبدیل شده‌اند (شکل ۵- ث). این دگرسانی با غنی‌شدگی سیلیس همراه است. هجوم سیالات غنی از سیلیس حاصل از مراحل پایانی فعالیت گرمابی، باعث گسترش رگه- رگجه‌های سیلیسی در منطقه شده که افزون بر توده نفوذی به مقدار کمتر در داخل واحد آذرآواری و هورنفلس‌های منطقه مشاهده می‌شود.

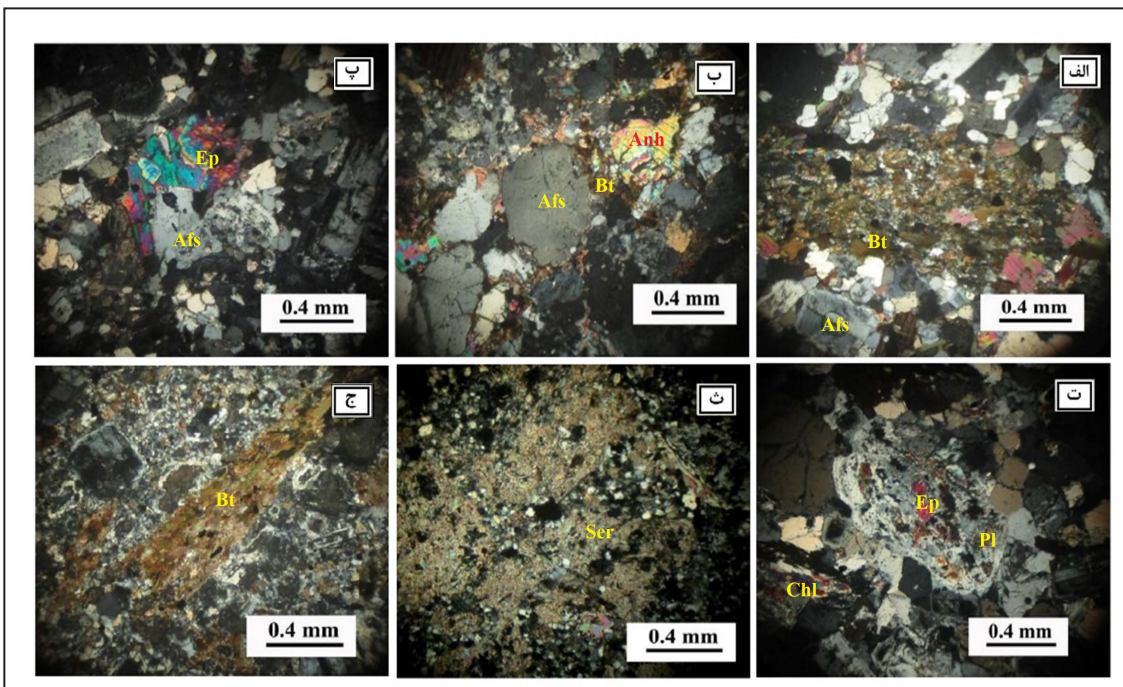
**۴-۶- دگرسانی آرژیلیک**

این دگرسانی تحت تأثیر سیالات مانگمایی، بخارات اسیدی حاصل از جوشش سیالات و یا آب‌های جوی ایجاد می‌شود. مطالعات میکروسکوپی نشان‌دهنده آن است که برخی از پلاژیوکلازها و فلدسپارها به طور بخشی و گاه کامل از حواشی و مرکز بلور به کانی‌های رسی تبدیل شده‌اند. چنین به نظر می‌رسد که کائولینیت به جای فلدسپار پتاسیم تشكیل شده است (شکل ۵- ج). دگرسانی آرژیلیک عمده‌تاً در امتداد شکستگی‌ها و حفرات به صورت برونزاد در ارتباط با اکسیداسیون سولفیدها ایجاد شده است.

دگرسانی غالباً در کانسار جانجا دگرسانی پتاسیک است و عمده‌تاً واحدهای نفوذی دیبوریتی و گرانودیوریتی را تحت تأثیر قرار داده و در گمانه‌های اکتشافی حفاری شده در بخش مرکزی کانسار تا ۷۰۰ متری مشاهده شده است. برونزاد پهنه دگرسانی پتاسیک در نزدیکی سطح زمین، نشان از تأثیر تراز فرسایشی ژرف در این کانسار دارد؛ به طوری که حجم زیادی از دگرسانی‌های پروپیلیتیک، آرژیلیک و فیلیک فرسایش پیدا کرده‌اند. دگرسانی پتاسیک در کانسار جانجا با درجات متواتر تا شدید به صورت تشكیل ثانویه رگجه‌های داریستی حاوی کوارتز، بیوتیت ثانویه، مگنتیت ( $\pm$  ارتوز  $\pm$  کالکوپیریت) و بیوتیت ثانویه با جانشینی آمفیبول و دیگر کانی‌های فرومینزین سنگ اولیه تشخیص داده شده است. کانی‌های فلدسپار پتاسیم دار ثانویه، بیوتیت ثانویه، انیدریت، کوارتز و کالکوپیریت مجموعه کانی‌های شاخص این دگرسانی می‌باشدند (شکل ۵- الف). در استوک گرانودیوریتی جانجا، بیوتیت ثانویه و انیدریت (شکل ۵- ب) به همراه رگجه‌های کوارتز- مگنتیت در گمانه‌های اکتشافی دیده می‌شود و نمونه‌های حاوی ارتوز ثانویه به ندرت یافت می‌شوند. این پهنه دگرسانی در کانسار جانجا گسترش زیادی دارد و در گمانه‌های اکتشافی در بخش مرکزی کانسار مشاهده شده است. در بسیاری از موارد دگرسانی پتاسیک توسط دگرسانی فیلیک تحت تأثیر قرار گرفته است که با حضور رگجه‌های کوارتز- سریسیت- پیریت مشخص می‌شوند.

**۲-۶- دگرسانی پروپیلیتیک**

دگرسانی‌های پروپیلیتیک و آرژیلیک بیشتر در بخش حاشیه‌ای سامانه پورفیری رخنمون دارند. دگرسانی پروپیلیتیک در کانسار جانجا در بخش‌های شمالی و جنوبی کانسار و به صورت پراکنده گسترش دارد و کانی‌های تشكیل دهنده آن شامل کانی‌های گروه اپیدوت، کلریت، کلسیت و به مقدار کمی کانی‌های رسی و



شکل ۵- تصاویر میکروسکوپی از دگرسانی‌های مختلف در کانسار جانجا. (الف) نمایی از بیوتیت ثانویه (Bt) با رنگ قهوه‌ای در پهنه پتاسیک؛ (ب) نمایی از کانی‌های انیدریت (Anh)، بیوتیت ثانویه (Bt) و فلدسپار قیلایی (Alts) در پهنه پتاسیک؛ (پ) اپیدوتی (Ep) و کلریتی شدن (Chl) واحد گرانودیوریتی در اثر دگرسانی پروپیلیتیک؛ (ت) اپیدوتی شدن (Ep) در پهنه پروپیلیتیک کانسار؛ (ث) سریسیتی شدن (Ser) شدید بلورهای پلاژیوکلاز (Pl) در پهنه فیلیک؛ (ج) آرژیلیتی شدن کانی‌های تشكیل دهنده سنگ تحت عملکرد سیالات اسیدی در پهنه آرژیلیک کانسار. علامت اختصاری کانی‌ها از (Whitney and Evans, 2010).

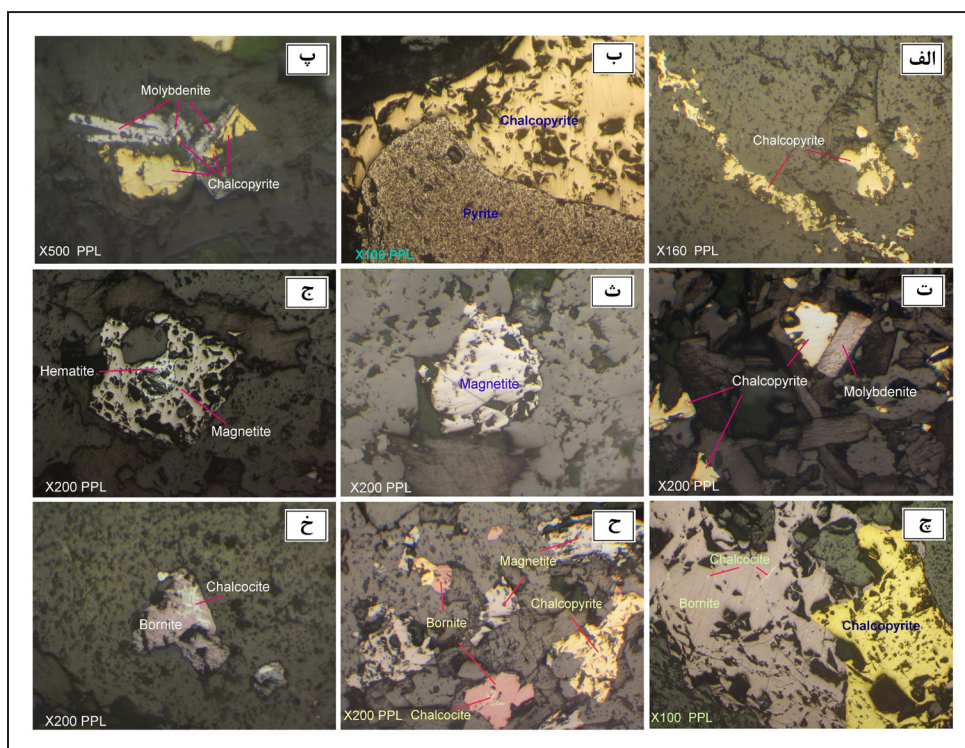
## ۷- کانه‌زایی

جانشین کالکوپیریت و بورنیت شده‌اند، شناخته می‌شود. کالکوپیریت به عنوان یکی از کانی‌های ثانویه مس در پهنه غنی شده برونزاد جانشین کالکوپیریت و بورنیت شده است (شکل ۶-خ). کانه‌زایی اکسیدی تیز با حضور گستردۀ هیدروکربنات‌های آهن (هماتیت، لیمونیت و گوتیت) و تشکیل هیدروکربنات‌های مس از جمله مالاکیت و آزوریت در بخش سطحی کانسار قابل تشخیص است. همچنین، بر اساس مطالعات کانی‌شناسی و کانه‌نگاری، توالی پارازیتیک کانی‌ها در کانسار جانجا بر اساس مراحل کانه‌زایی در شکل ۷ نشان داده شده است.

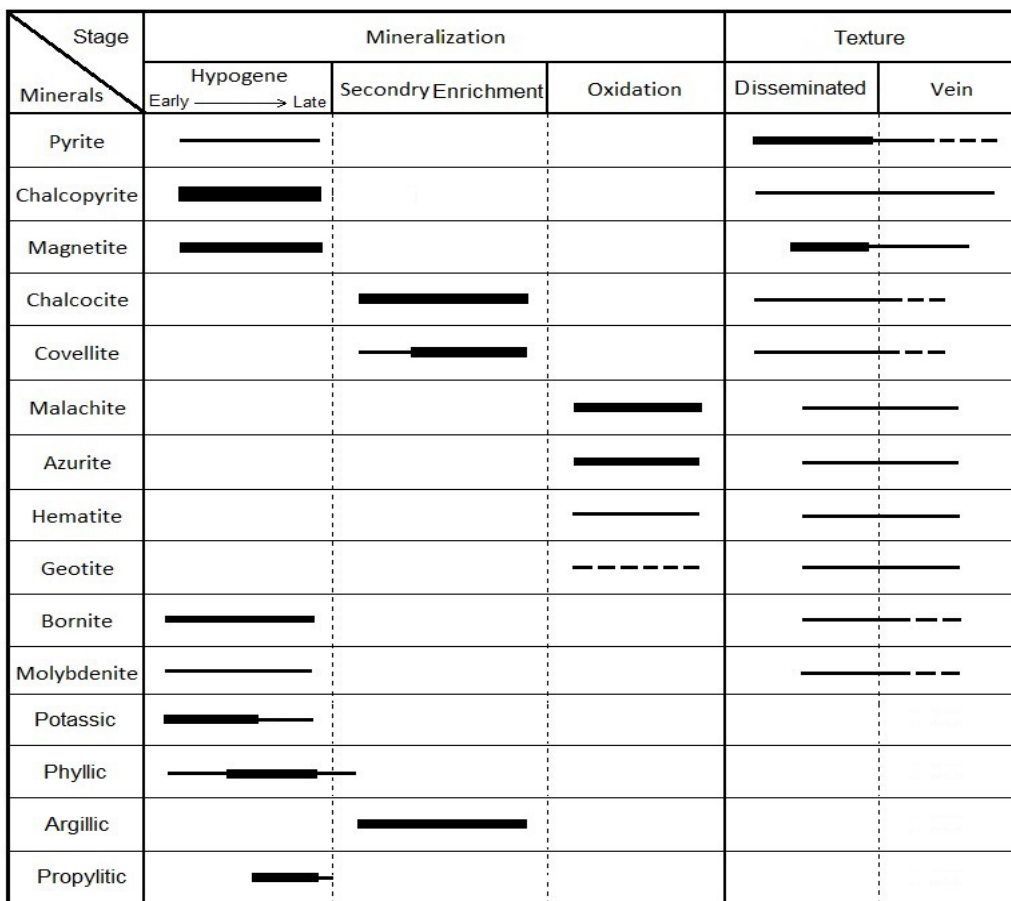
## ۸- ژئوشیمی تودهای نفوذی

به منظور تشخیص ویژگی‌های سنگ‌شناسی، تعیین جایگاه زمین‌ساخت و سری ماگمایی توده نفوذی جانجا؛ ۸ نمونه فاقد دگرسانی از توده نفوذی برداشت و از نظر عناصر اصلی و فرعی به کمک روش XRF و ICP-MS در شرکت زرآزما تجزیه و نتایج آن در جدول ۱ ارائه شده است. بر اساس تجزیه ژئوشیمیایی و جانمایی نتایج آنها در نمودار TAS (Cox et al., 1979)، نمونه‌های توده نفوذی جانجا در محدوده دیبوریت تا کوارتز دیبوریت و گرانوپوریت قرار می‌گیرند که با مشاهدات سنگ‌شناسی (حضور گستردۀ پلازیوکلاز درشت بلور) مطابقت دارد (شکل ۸-الف). به منظور تعیین سری ماگمایی تودهای نفوذی منطقه، از نمودار (Irvine and Baragar (1971) استفاده شده است که نمونه‌ها در محدوده کالک‌آلکالن قرار می‌گیرند (شکل ۸-ب)، در نمودار قرار گرفته‌اند (شکل ۸-پ). همچنین در نمودار جدایش محیط زمین‌ساختی (Pearce et al., 1984) توده نفوذی جانجا در گسترۀ گرانیتوییدهای کمریندهای آتش‌نشانی (VAG) قرار می‌گیرد (شکل ۸-ت).

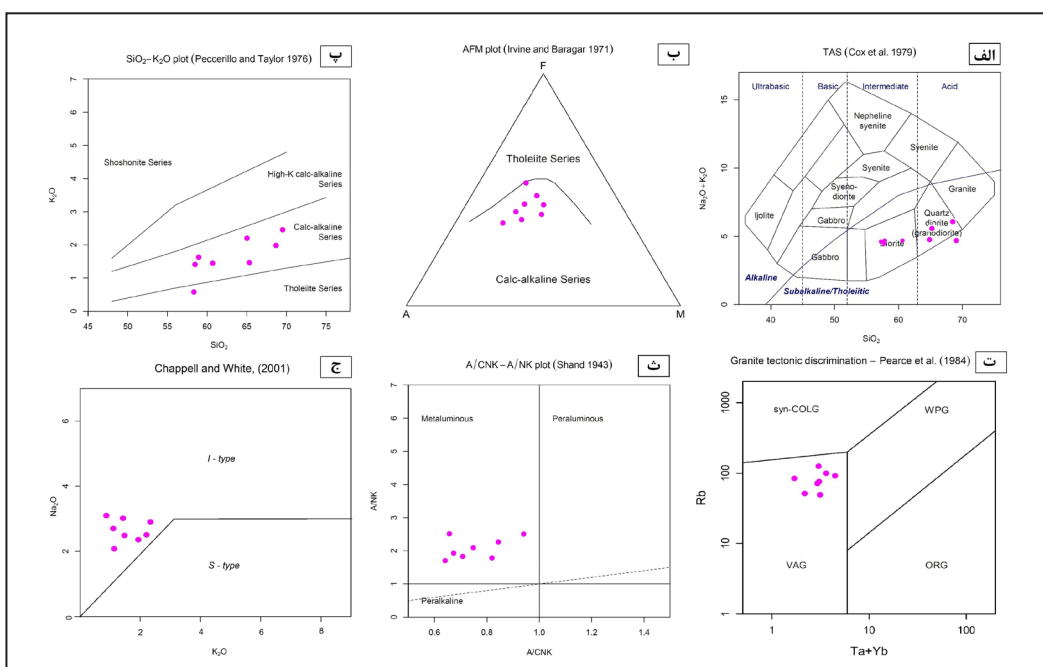
کانه‌زایی در کانسار جانجا به سه بخش درونزاد (اولیه)، برونزاد غنی شده و اکسیدان قابل تفکیک است. به طور کلی کانی‌های سولفیدی در کانسار جانجا شامل کالکوپیریت، پیریت، بورنیت، کوولیت، کالکوپیریت و مولیبدنیت، کانی‌های اکسیدی عمدهاً مگنتیت، هماتیت، گوتیت، لیمونیت و کانی‌های کربناتیه شامل مالاکیت و آزوریت می‌باشد. کانه‌زایی درونزاد در کانسار جانجا وابسته به استوک گرانوپوریتی و نفوذ آن به درون واحدهای فیلیشی کرتاسه است. کانه‌زایی در این پهنه به صورت دانه‌پراکنده و رگه- رگچه (داربستی) عمدهاً همراه با دگرسانی پتاسیک رخ داده است که دارای مقادیر متغیری از کالکوپیریت، پیریت، مگنتیت، مولیبدنیت و بورنیت است. پیریت و کالکوپیریت فراوان‌ترین کانی‌های فلزی موجود در کانسار جانجا هستند و حجم اعظم کانه‌زایی را تشکیل می‌دهند. کالکوپیریت، به صورت بلورهای بی‌شکل و دانه‌پراکنده در متن سنگ و رگه- رگچه همراه با دگرسانی پتاسیک و در پهنه درونزاد دیده می‌شود (شکل ۶-الف). پیریت به صورت دانه‌های ریز و بی‌شکل و گاه به صورت بلورهای درشت شکل دار در متن سنگ و به صورت رگچه‌ای همراه با کالکوپیریت در پهنه درونزاد کانسار دیده می‌شود (شکل ۶-ب). مولیبدنیت با اینزوتروپی بسیار بالا و رنگ سفید متمایل به خاکستری عمدهاً در واحد دیبوریت به صورت دانه‌پراکنده و تیغه‌ای دیده می‌شود (شکل ۶-پ و ت). مگنتیت به مقدار کم در پهنه دگرسانی پتاسیک، به دو صورت دانه‌پراکنده و رگچه‌ای دیده می‌شود (شکل ۶-ث و ح) و در برخی مقاطع به هماتیت تبدیل شده و بافت مارتیتی را تشکیل داده است (شکل ۶-ج). بورنیت نیز به صورت اولیه و همراه با کالکوپیریت و مگنتیت به صورت فراوان در پهنه درونزاد کانسار قابل مشاهده است (شکل ۶-چ و ح). پهنه غنی شده برونزاد در این کانسار با حضور کانی‌های ثانویه مس از جمله کالکوپیریت و کوولیت که



شکل ۶- تصاویر میکروسکوپی کانه‌های مختلف در کانسار جانجا. (الف) حضور کانی کالکوپیریت به دو شکل دانه‌پراکنده و رگچه‌ای در واحد کوارتز دیبوریتی پهنه درونزاد کانسار؛ (ب) همراهی کالکوپیریت و پیریت در واحد گرانوپوریتی؛ (پ) همراهی مولیبدنیت و کالکوپیریت؛ (ت) حضور کانی مولیبدنیت به صورت تیغه‌ای؛ (ث) کانی مگنتیت نیمه‌شکل دار به صورت پراکنده در واحد کوارتز دیبوریت؛ (ج) تبدیل مگنتیت به هماتیت و تشکیل بافت مارتیتی؛ (چ) حضور کانی بورنیت در پهنه درونزاد کانسار؛ (ح) هم‌رشدی بورنیت، کالکوپیریت و مگنتیت؛ (خ) تبدیل بورنیت به کالکوپیریت در پهنه برونزاد کانسار.



شکل ۷- توالی پاراژنتیک کانی‌ها و کانه‌ها و مراحل تشکیل کانی‌های درونزد و برونزاد در کانسار مس- مولیبدن پورفیری جانجا.



شکل ۸- نمودارهای پتروژن توده نفوذی جانجا. (الف) موقعیت نمونه‌ها در محدوده سنگ‌های با ترکب دیبوریت، کوارتر دیبوریت و گرانو دیبوریت؛  
 (ب) قرار گرفتن نمونه‌ها در محدوده سری کالک‌آلکالن در نمودار تفکیک سنگ‌های آذرین کالک‌آلکالن و توپیتی؛ (پ) موقعیت نمونه‌ها متعلق به سری کالک‌آلکالن؛ (ت) ارتباط سنگ‌های منطقه با کمرندهای آتش‌شانی پنهان فروزانش؛ (ث) قرار گرفتن ترکب شیمیایی نمونه‌ها در محدوده سنگ‌های متا‌آلومینوس بر اساس نمودار شاخص اشباع از آلومینیم؛ (ج) قرار گرفتن توده نفوذی جانجا در محدوده گرانیتوییدهای نوع I در نمودار تفکیک گرانیتوییدهای نوع I و S.

میانبارها به طور میانگین از ۲۸ تا ۲۸۰ میکرون متغیر است. ریزدماستجو این میانبارها به علت محدود بودن فاز مایع و نبود تغییرات فازی در حین سرمایش-گرمایش امکان پذیر نبوده است. در چندین مورد، میانبارهای تیپ I و تیپ III همراه با هم مشاهده شده‌اند. این گروه فراوانی نسبتاً بالایی را در بین سه گروه میانبارهای سیال دارا هستند.

- میانبارهای دوفازی آبگین (II): مهم‌ترین فازهای موجود در میانبارهای دوفازی آبگین را فاز آب مایع (L) و جتاب‌های بخار کوچک (V) تشکیل می‌دهند (شکل ۹-الف و پ). در این میانبارها، فاز جامد دیده نشد. تعداد ۲۲ میانبار آبگین با ابعاد مناسب جهت مطالعات ریزدماستجو انتخاب شد. ابعاد این میانبارها از ۷-۱۵ میکرون متغیر است. مهم‌ترین اشکال مشاهده شده در میانبارهای تیپ II اشکال کشیده، منفی بلور، نامنظم و کروی است. میانبارهای آبگین که مربوط به مراحل نهایی فعالیت توده نفوذی هستند (Kouzmanov, 2012) کمترین فراوانی را نسبت به دو گروه دیگر نشان می‌دهند. طی گرمایش، همگی این میانبارها به فاز مایع همگن شدنند. براساس مطالعات ریزدماستجو بر روی میانبارهای آبگین، دمای همگن شدن این میانبارهای سیال از ۳۰۱ درجه سانتی گراد و شوری این میانبارهای سیال از ۱۱/۷ تا ۲۲/۳۸ درصد وزنی معادل نمک طعام متغیر است.

- میانبارهای چندفازی حاوی نمک (بسیار شور) (III): این میانبارها بیشترین فراوانی را در بین میانبارهای سیال در کانسار جانجا از خود نشان می‌دهند و با توجه به حضور فازهای متعدد کانی کدر به لحاظ کانه‌زایی نیز دارای اهمیت بالایی دارند. به همین منظور تعداد ۴۵ میانبار چندفازی حاوی نمک برای مطالعات ریزدماستجو انتخاب شد. ابعاد آنها از ۶ تا ۲۱ میکرون متغیر است. در این میانبارها فازهای نوزاد مختلفی از جمله هالیت، به ندرت سیلویت، فازهای کدر (احتمالاً سولفیدی) و همایت مشاهده شدنند (شکل ۹-ت و ث). این میانبارها به شکل‌های کروی، کوبیک، تیغه‌ای و نامنظم قابل مشاهده هستند. کانی همایت به رنگ قرمز متمایل به قهوه‌ای تقهوئی و به شکل کروی تا نامنظم در برخی از میانبارهای چند فازی مشاهده می‌شود که در یک مورد کانی همایت با افزایش دما در دمای ۳۴۸ درجه سانتی گراد انحلال یافته و بیانگر این است که فاز همایت، یک فاز به دام افتاده نیست بلکه یک فاز نوزاد اصلی است (Siahcheshm et al., 2014). هالیت، نسبت به دیگر فازهای جامد ابعاد بزرگ‌تر دارد و با شکل مکعبی و شفاف شناخته می‌شود. سیلویت با ابعاد کوچک‌تر و مرزهای مدور و نیمه‌شفاف قابل تشخیص است (شکل ۹-ج). این میانبارها، توزیع نامنظم نشان می‌دهند و در مواردی نیز به صورت دنباله‌هایی حضور دارند که ممکن است اولیه یا ثانویه دروغین باشد (شکل ۹-ب). در هیچ یک از میانبارهای مورد مطالعه در کانسار جانجا فاز  $\text{CO}_2$  دیده نشده است.

پس از انجام مراحل سرمایش و گرمایش بر روی میانبارهای چندفازی حاوی نمک، گروهی از میانبارها به فاز هالیت و گروهی نیز به فاز بخار همگن شدنند. دمای همگن شدن بخار در این میانبارها از ۲۵۴ تا بیش از ۵۵۰ درجه متغیر است. به نظر می‌رسد که علت احتمالی محدوده وسیع دمای همگن شدن، ناشی از فرایند متأثر شدن دگرسانی پتانسیک توسط دگرسانی فلیک باشد. دمای انحلال بخارهای هالیت نیز از ۲۷۷ تا بیش از ۵۰۰ درجه متغیر است که بیانگر شوری ۳۶/۳ تا ۶۹/۹ درصد وزنی معادل نمک طعام است. از بین میانبارهای هایپرسالین، ۶۵ درصد بعد از همگن شدن فاز بخار، به بلور هالیت همگن می‌شوند و دیگر میانبارها نیز بعد از انحلال هالیت به فاز بخار همگن می‌شوند. در کانسارهای بورفیری، میانبارهای چندفازی حاوی نمک از طریق جداشی فازی تحت شرایط ماگمایی یا گرمایی شکل می‌گیرند (Kouzmanov, 2012). در شکل ۱۰ نیز نمودار چگالی، دمای همگن شدن و نمودار شوری میانبارهای سیال مورد مطالعه نشان داده شده است.

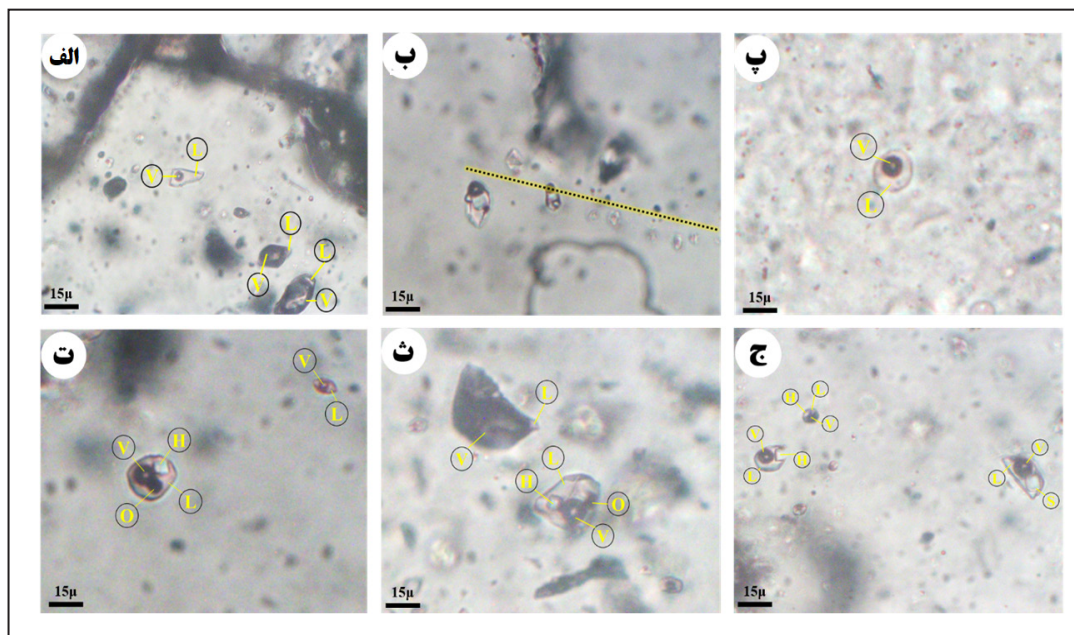
ضریب اشباع آلومین (ASi=Al<sub>2</sub>O<sub>3</sub>/(CaO+Na<sub>2</sub>O+K<sub>2</sub>O)) در نمونه‌های کانسار جانجا پایین بوده و بدین ترتیب، بر اساس رده‌بندی (Shand, 1943) جز گرانیتوییدهای نوع I و متآلومین محسوب می‌شوند (شکل ۸-ث). ساخته اشباع از آلومینیم برای گرانیت‌های نوع S بیشتر از ۱/۱ و برای گرانیت‌های نوع I کمتر از ۱/۱ است (Chappell and White, 2001؛ بنابراین با توجه به این معیار، توده نفوذی جانجا از نوع گرانیتوییدهای نوع I می‌باشد. همچنین قرارگیری نمونه‌ها در نمودار Na<sub>2</sub>O در مقابل K<sub>2</sub>O که مرز گرانیتوییدهای I و S را جدا می‌کند (Chappell and White, 2001)، ماهیت I بودن توده نفوذی جانجا را تأیید می‌کند (شکل ۸-ج).

## ۹- مطالعات میانبارهای سیال

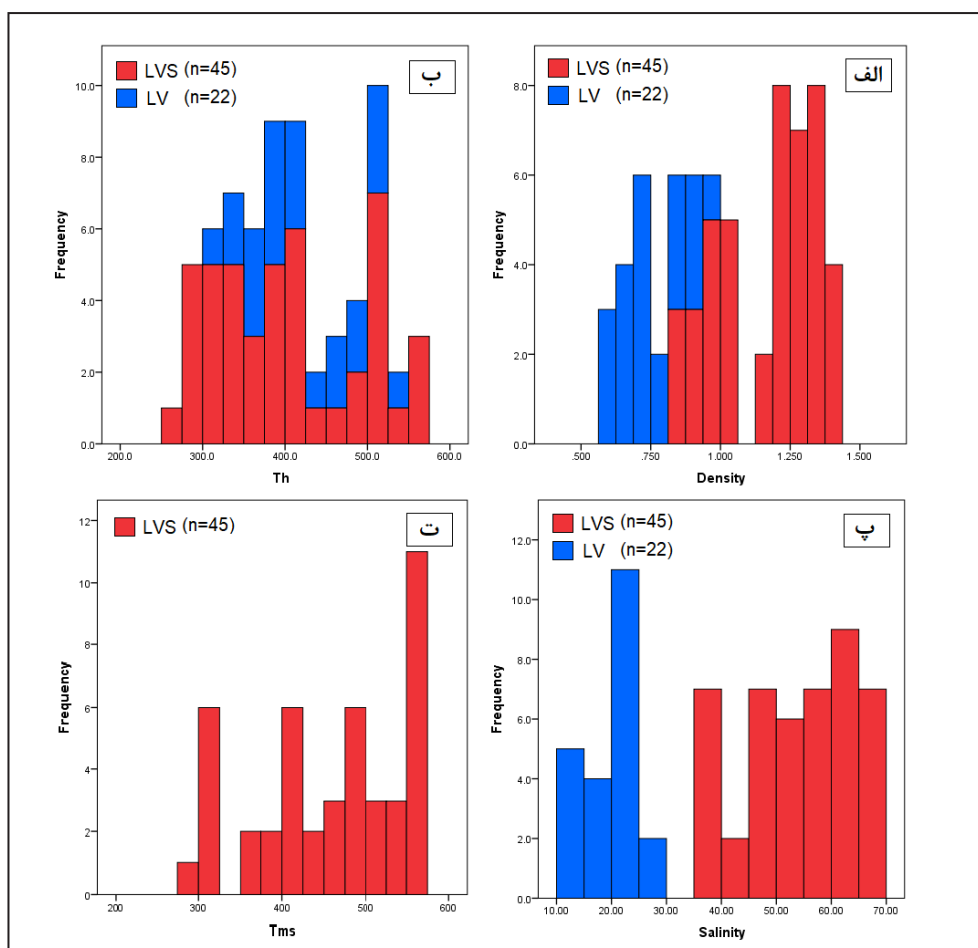
### ۹-۱- سنگنگاری و ریزدماستجو میانبارهای سیال

میانبارهای سیال به دام افتاده در کانی‌ها و کانه‌های سامانه‌های پورفیری، نمونه‌های مستقیم از سیالات گرمایی-ماگمایی قیمتی هستند که مسئول نهشت ماده معدنی و دگرسانی گرمایی محسوب می‌شوند و مطالعه این میانبارهای سیال یکی از مهم‌ترین روش‌ها برای به دست آوردن اطلاعات در مورد ویژگی‌های فیزیکوشیمیای سیال کانساز در سامانه‌های پورفیری است (Kouzmanov, 2012). با توجه به اهمیت این روش، تعداد سه عدد مقطع دوبرصیقل از رگه-رگه‌های کوارتز حاوی کانه‌زایی مربوط به مغزه‌های حفاری شده از پهنه دگرسانی پتانسیک در توده نفوذی تهیه شد. براساس مطالعات سنگنگاری، نمونه‌های حاوی دگرسانی پتانسیک عمده‌تاً توسط دگرسانی فلیک متأثر شده‌اند. طی مطالعات سنگنگاری، ویژگی‌های فیزیکی و ریخت‌شناسی میانبارهای سیال که کانی میزان همگی آنها کوارتز است بر اساس بودنار (2014) و گلدستین (Goldstein et al., 2003) ثبت شد. عمده میانبارهای سیال مشاهده شده دارای ماهیت ثانویه هستند که یکی از ویژگی‌های سامانه‌های پورفیری می‌باشد. با این وجود، تلاش شده تا میانبارهایی برای مطالعات انتخاب شوند که بر اساس معیارهای گلدستین (Goldstein et al., 2003) ماهیت اولیه داشته باشند. در شکل ۹ انواع مختلف میانبارهای سیال دیده شده در رگه‌های کوارتز کانسار جانجا نشان داده شده است. به طور کلی از نظر ظاهری، میانبارهای دیده شده در رگه‌های کوارتز دارای اشکال نامنظم، گوشواره، کروی تا تکشیده می‌باشند. اصطلاحات متعدد توسط پژوهشگران مختلف برای تقسیم‌بندی میانبارهای سیال Rusk et al., 2004؛ Audet et al., 2008؛ (2003) کانسارهای پورفیری استفاده شده است (Richards, 2012؛ Kouzmanov, 2012). بر اساس مطالعات سنگنگاری و معیارهای طبقه‌بندی میانبارهای سیال توسط کازمانو (2012) و لکومبری Lecumberri (2013) در کانسارهای پورفیری، میانبارهای سیال موجود در رگه‌های کوارتز-سولفیدی کانسار جانجا به سه گروه قابل تقسیم هستند: (۱) میانبارهای دوفازی غنی از بخار (I)؛ (۲) میانبارهای دوفازی آبگین یا (II)؛ (۳) میانبارهای چندفازی حاوی نمک یا (III). در ادامه به ویژگی‌های سنگنگاری و ریزدماستجوی هر یک این میانبارها پرداخته خواهد شد. همچنین در جدول ۲ نتایج حاصل از مطالعات ریزدماستجوی میانبارهای سیال ارائه شده است.

- میانبارهای سیال دوفازی غنی از بخار (I): این گروه از میانبارهای سیال شامل میانبارهای غنی از بخار هستند که درصد بخار آنها به بیش از ۹۰ درصد می‌رسد به گونه‌ای که فاز مایع آنها تنها در حاشیه و به صورت محدود دیده می‌شود (شکل ۹-الف، ب و ث). این میانبارهای سیال اشکال مختلفی از جمله اشکال بی‌نظم، چندوجه‌ی و کروی را نشان می‌دهند. بعضی از این میانبارها حالت دنباله‌دار شدن (Necking Down) را نشان می‌دهند که به علت تغییر در نسبت اولیه بخار به مایع و تغییر در فازهای درونی از مطالعات کنار گذاشته شدند. ابعاد این



شکل ۹- تصاویر میکروسکوپی از میانبارهای سیال موجود در رگه و رگچه‌های کوارتز- سولفیدی در کانسار جانج، (الف) میانبارهای دوفازی سیال آبگین مشکل از فاز مایع و حباب کوچک بخار به شکل چندوجهی همراه با میانبارهای سیال غنی از بخار که شکل منفی بلور را نشان می‌دهند؛ (ب و ت) میانبارهای چندفازی حاوی نمک مشکل از فاز مایع+ فاز بخار+ هالیت و یک فاز جامد اپک؛ (پ) میانبار دوفازی آبگین مشکل از فاز مایع و بخار که شکل کروی را نشان می‌دهد؛ (ث) حضور همزمان یک میانبار چندفازی حاوی نمک و یک میانبار دوفازی غنی از بخار؛ (ج) حضور دو میانبار چندفازی حاوی نمک و یک مورد میانبار حاوی سیلویت (L: Liquid; V: Vapor; O: Opaque mineral; H: Halite, S:Sylvite)



شکل ۱۰- (الف) نمودار چگالی میانبارهای سیال؛ (ب) نمودار دمای همگن شدن میانبارهای سیال؛ (پ) نمودار شوری میانبارهای سیال؛ (ت) نمودار دمای همگن شدن به هالیت میانبارهای سیال.

جدول ۲- خلاصه نتایج تجزیه‌های ریزدماسنجه و تعیین شوری میانوارهای سیال نمونه‌های کانسار جانجا.

Sample	Inc.N.	Inc.Type	Class	Shape	Size (um)	Salinity	Th <sub>v</sub>	Density	Te	Tm <sub>s</sub>	Tm <sub>ice</sub>
1	1	L+V+S	Primary	N. C. Sh.	8	49.29	520	0.991		420	
	2	L+V+S	Primary	Irregular	12	46.69	500	0.979		396	
	3	L+V+S	Primary	Irregular	15	60.29	282	1.346		532	
	4	L+V+S	Primary	Irregular	12	60.35	325	1.302		522	
	5	L+V+S	Primary	Irregular	11	38.66	500	0.892		309	
	6	L+V+S	Primary	Irregular	9	66.33	380	1.331		550	
	7	L+V+S	Primary	Faceted	7	56.63	385	1.213		480	
	8	L+V+S	Primary	Rounded	10	61.91	373	1.283		530	
	9	L+V+S	Primary	Irregular	13	58.77	394	1.232		499	
	10	L+V+S	Primary	Irregular	7	60.09	430	1.223		508	
	11	L+V+S	Primary	Irregular	8	36.36	460	0.908		277	
	12	L+V+S	Primary	Irregular	9	50.08	372	1.15		420	
	13	L+V+S	Primary	Irregular	8	58.01	408	1.213		491	
	14	L+V+S	Primary	Irregular	10	49.38	500	1.011		420	
	15	L+V+S	Primary	Irregular	11	56.59	380	1.216		480	
	16	L+V	Primary	N. C. Sh.	16	22.38	301	0.941	-65.5		-20
	17	L+V	Primary	Irregular	6	15.96	350	0.81	-64.1		-12
	18	L+V	Primary	Faceted	19	20.97	388	0.81	-55.2		-18
	19	L+V	Primary	Faceted	20	25.58	400	0.847	-48.2		-25
	20	L+V	Primary	Faceted	9	20.97	540	0.653	-50		-18
	21	L+V	Primary	Faceted	11	14.97	500	0.596	-33.1		-11
	22	L+V	Primary	Irregular	13	18.63	515	0.614	-39		-15
	23	L+V	Primary	Irregular	14	21.68	520	0.676	-60		-19
2	1	L+V+S	Primary	Irregular	16.5	43.47	400	1.043		362	
	2	L+V+S	Primary	Irregular	9	52.53	326	1.213		445	
	3	L+V+S	Primary	Faceted	12	55.35	301	1.265		476	
	4	L+V+S	Primary	Faceted	11	53.53	290	1.255		459	
	5	L+V+S	Primary	Faceted	13	61.69	326	1.317		535	
	6	L+V+S	Primary	Irregular	21	38.56	550	0.832		309	
	7	L+V+S	Primary	Faceted	9	65.8	310	1.385		550	
	8	L+V+S	Primary	Rounded	8	39.3	377	1.023		315	
	9	L+V+S	Primary	Irregular	12	47.94	358	1.138		400	
	10	L+V+S	Primary	Irregular	6	42.3	416	1.014		350	
	11	L+V+S	Primary	Irregular	12	53.32	337	1.213		452	
	12	L+V+S	Primary	Rounded	14	49.49	254	1.245		421	
	13	L+V+S	Primary	Rounded	15	63.55	342	1.326		550	
	14	L+V+S	Primary	Rounded	16	58.51	298	1.306		509	
	15	L+V+S	Primary	N. C. Sh.	18	62.95	315	1.343		550	
	16	L+V	Primary	N. C. Sh.	11	23.05	348	0.88	-48		-21
	17	L+V	Primary	Irregular	10	13.94	421	0.66	-29.7		-10
	18	L+V	Primary	Faceted	15	22.38	325	0.91	-49.1		-20
	19	L+V	Primary	Faceted	8	28.03	375	0.9	-52.7		-29
	20	L+V	Primary	Faceted	18	11.7	410	0.65	-25.9		-8
	21	L+V	Primary	Faceted	13	21.68	485	0.7	-41.2		-19
	22	L+V	Primary	Irregular	9	12.85	389	0.7	-30		-9

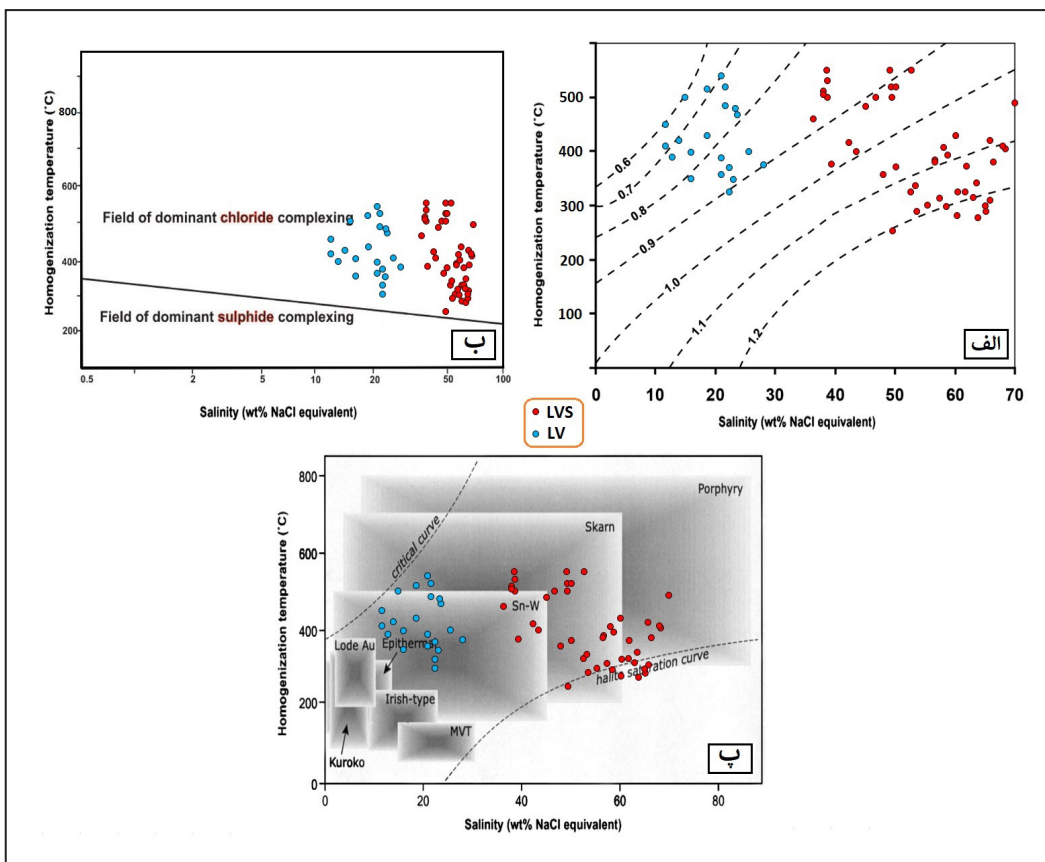
ادامه جدول ۲

Sample	Inc.N.	Inc.Type	Class	Shape	Size (um)	Salinity	Th <sub>v</sub>	Density	Te	Tm <sub>s</sub>	Tm <sub>ice</sub>
3	1	L+V+S	Primary	Irregular	11	57.43	314	1.278		495	
	2	L+V+S	Primary	Irregular	18	65.75	420	1.299		550	
	3	L+V+S	Primary	Faceted	9	63.72	278	1.397		550	
	4	L+V+S	Primary	Faceted	10.5	65.08	289	1.401		550	
	5	L+V+S	Primary	Faceted	8	64.99	300	1.386		550	
	6	L+V+S	Primary	Irregular	17	68.33	405	1.339		550	
	7	L+V+S	Primary	Faceted	15	69.9	490	1.315		550	
	8	L+V+S	Primary	Rounded	10	45.07	483	0.977		380	
	9	L+V+S	Primary	Irregular	12	37.96	512	0.873		300	
	10	L+V+S	Primary	Irregular	14	37.97	505	0.88		300	
	11	L+V+S	Primary	Irregular	9.5	38.69	531	0.862		310	
	12	L+V+S	Primary	Rounded	14	49.15	550	0.961		420	
	13	L+V+S	Primary	N. C. Sh.	9	50.11	520	1.001		427	
	14	L+V+S	Primary	N. C. Sh.	11	52.7	550	0.998		450	
	15	L+V+S	Primary	Irregular	16	67.95	410	1.332		550	
	16	L+V	Primary	Rounded	9	15.96	398	0.734	-42		-12
	17	L+V	Primary	Irregular	19	11.7	450	0.591	-39		-8
	18	L+V	Primary	Faceted	15.5	18.65	430	0.721	-49		-15
	19	L+V	Primary	Faceted	8	23.7	468	0.745	-58		-22
	20	L+V	Primary	Faceted	8.5	20.97	358	0.853	-45		-18
	21	L+V	Primary	Rounded	13	23.37	480	0.73	-58		-21.5
	22	L+V	Primary	Irregular	11	22.38	370	0.851	-53		-20

## ۲-۹- مطالعه ویژگی‌های فیزیکوشیمیایی میانبارهای سیال

حاوی نمک و میانبارهای غنی از بخار است. روند پراکندگی این میانبارها، نشان‌دهنده فرایندهای اختلاط و سرد شدن عادی سیالات به عنوان عامل اصلی نهشت ماده معدنی در این سیالات است. برای شناسایی کمپلکس غالب حمل کننده فلزات در کانسار جانجا از نمودار (Large et al., 1989) استفاده شده است (شکل ۱۱- ب). بر طبق این نمودار، داده‌های جانجا در محدوده بالا- است (شکل ۱۱- ب). بر طبق این نمودار، داده‌های جانجا در محدوده مربوط به کمپلکس‌های کلریدی قرار می‌گیرند و همچنین براساس شواهدی چون مقادیر بالای هالیت در میانبارهای چندفازی حاوی نمک، شوری (بیش از ۴۰ درصد وزنی) و دمای بالا (بیش از ۳۵۰ درجه سانتی‌گراد) می‌توان نتیجه گرفت آئیون غالب در منطقه  $\text{Cl}^-$  است. بر اساس نمودار ارائه شده بر پایه شوری و دمای همگن شدن که انواع سامانه‌های کانه‌زایی را از هم تفکیک نموده است (Wilkinson, 2001)، میانبارهای مورد مطالعه از نظر ویژگی دما و شوری در محدوده کانسارهای پورفیری قرار می‌گیرند (شکل ۱۱- ب).

به منظور تعیین چگالی میانبارهای مورد مطالعه در کانسار جانجا از نمودار دمای همگن شدن- شوری (Wilkinson, 2001) استفاده شد (شکل ۱۱- الف). چگالی محاسبه شده برای میانبارهای آبگین، از ۰/۶۵ تا ۰/۸۴ و برای میانبارهای چندفازی حاوی نمک، از ۰/۸۳ تا ۱/۴ متغیر می‌باشد. یکی دیگر از ویژگی‌هایی که در کانسارهای پورفیری متداول است، حضور میانبارهای حاوی هالیت است که به هالیت همگن می‌شوند که دلایل مختلفی برای این مورد مطرح شده است؛ ۱) فشار بالا- به دام افتادن یک میانبار تک فاز دارای شوری بالا به گونه‌ای که هالیت قبل از بخار هسته‌سازی می‌کند (Roeder and Bodnar, 1980); ۲) تغییرات پس از به دام افتادن- خروج  $\text{H}_2\text{O}$  از میانبار (Audetat and Gunther, 1999)؛ یا ۳) اشباع هالیت- تحت شرایط اشباع از هالیت، برخی میانبارها، هالیت جامد را به دام انداخته‌اند (Becker et al., 2008). یکی از ویژگی‌های مشاهده شده در میانبارهای سیال کانسار جانجا، حضور همزمان میانبارهای چندفازی



شکل ۱۱- (الف) نمودار دمای همگن شدن-شوری برای تعیین چگالی میانبار سیال (Wilkinson, 2001); (ب) نمایش محدوده پایداری کمپلکس‌های مس به صورت کلریدی و بی‌سولفیدی (Large et al., 1989); (پ) نمودار تعیین تیپ کانه‌زایی بر اساس شوری و دمای همگن شدن سیال (Wilkinson, 2001).

#### ۱۰- مقایسه کانسار جانجا با انواع کانسارهای پورفیری ایران

مگنتیت، رگچه‌های کوارتز، حضور کانی اندریت و اندازه و میانگین ذخیره کانسار مقایسه شد. نتیجه این بررسی نشان می‌دهد که کانسار جانجا بیشترین شباهت را با کانسارهای مس- مولیبدن- (طلا) پورفیری حاشیه قاره‌ای دارد (جدول ۳).

به منظور تعیین نوع کانه‌زایی در کانسار جانجا، ویژگی‌های کانی‌سازی کانسار یادشده با برخی کانسارهای مس پورفیری مهم ایران از نظر موقعیت تکتونیکی، توده نفوذی منشأ، سری ماقمایی، پهنه‌های دگرسانی، گسترش پهنه اکسیدان، عیار متوسط مس و مولیبدن، کانی‌های فلزی درونزاد، درصد

جدول ۳- مقایسه کانسار جانجا با برخی از ذخایر مس پورفیری مهم در ایران.

موارد مقایسه	جانجا	سورچشم	میدوگ	سونگون	دره زار	علی آباد و دره زرشک
موقعیت زمین‌ساختی	حاشیه قاره	حاشیه قاره	حاشیه قاره	حاشیه قاره	حاشیه قاره	حاشیه قاره
توده نفوذی منشأ	کوارتزدبوریت تا گرانودبوریت پورفیری	گرانودبوریت پورفیری	کوارتزدبوریت پورفیری	مونزونیت، گرانودبوریت پورفیری	گرانودبوریت پورفیری	گرانودبوریت پورفیری
سری ماقمایی	کالک‌آلکالن	کالک‌آلکالن	کالک‌آلکالن	کالک‌آلکالن پاسیم بالاتا متوسط	کالک‌آلکالن	کالک‌آلکالن
پهنه‌های دگرسانی	- پروپیلیتیک آرژیلیک- فلیک	- پروپیلیتیک آرژیلیک	- پتاسیک- سدیک- فلیک	- پتاسیک، پتاسیک- فلیک، فلیک، پتاسیک، پتاسیک- فلیک، فلیک، پتاسیک، پتاسیک- فلیک، پتاسیک، پتاسیک- فلیک	- آرژیلیک، فلیک، فلیک، آرژیلیک، پروپیلیتیک	- آرژیلیک، آرژیلیک، آرژیلیک، آرژیلیک، آرژیلیک

ادامه جدول -۳

موارد مقاومت	جانحا	سرچشمہ	میدوگ	سونگون	دروز	علی آباد و دره زرشک
عناصر فلزی	Cu-Mo±Au	Cu-Mo (Au-Ag)	Cu± Mo	Cu-Mo (Au-Ag)	Cu-Mo	Cu(± Mo± Ag)
کانی‌های فلزی درونزاد	-کالکوپیریت- مگنتیت- پیریت- مولیبدنیت- بورنیت- طلا	-کالکوپیریت- پیریت- مولیبدنیت	-کالکوپیریت- پیریت- اسفالریت- مولیبدن- بورنیت-	-کالکوپیریت- پیریت- مولیبدن	-کالکوپیریت- بورنیت- گالان- اسفالریت	-کالکوپیریت- بورنیت- گالان- اسفلالریت
مگنتیت	کم	بسیار جزئی	کم	جزئی	کم	؟
گسترش پهنه بروز	متوسط	زیاد	زیاد	زیاد	متوسط	متسط
اندازه و میانگین ذخیره کانسار	ذخیره قطعی ۱۰۱ میلیون تن و ذخیره احتمالی ۲۰۲ میلیون تن	بزرگ (۱۲۰۰ میلیون تن)	بزرگ- ۶۵۰ میلیون تن	بزرگ- ۴۹۰ میلیون تن	بزرگ (۱۲۰۰ میلیون تن)	دره زرشک ۲۳ و علی آباد ۴۰ میلیون تن
عيار متوسط مس (درصد)	۰/۳۴	۰/۶۹	۰/۸۶	۰/۴	۰/۷	دره زرشک ۰/۹ علی آباد ۰/۷۳
عيار متوسط مس (درصد)	۰/۰۰۲	۰/۰۰۳	۰/۰۰۷	۰/۲۵	۰/۰۰۴	دره زرشک ۰/۰۰۶ علی آباد ۰/۰۰۴
محدوده شوری سیالات	۱ تا ۳۶ درصد وزنی نمک	۱ تا ۶۱ درصد وزنی نمک	۲ تا ۴۳ درصد وزنی نمک	۱ تا ۷۰ درصد وزنی نمک	۳۵ تا ۶۰ درصد وزنی نمک	۱ تا ۷۸ درصد وزنی نمک
محدوده دمای همگن شدن	۲۵۴ تا ۵۵۰ درجه سانتی گراد	۲۴۰-۶۰۰ درجه سانتی گراد	۲۱۴-۵۳۰ درجه سانتی گراد	۱۵۰-۶۰۰ درجه سانتی گراد	۴۹۹-۶۰۰ درجه سانتی گراد	۶۲۰-۱۰۰ درجه سانتی گراد
منابع	پژوهش حاضر	(Shahabpour, 2008)	(Taghipour et al., 2008)	Calagari, 2004; Hou et al., 2013, Kou et al., 2021	(عبدلزاده، Zaravandi et al., 2005)	(عبدلزاده، Zaravandi et al., 2005)

## ۱۱- نتیجه‌گیری

همگن شدن سیار بالا از ۲۵۴ تا بیش از ۵۵۰ درجه سانتی گراد و شوری بسیار بالا از محدوده ۳۶ تا ۷۰ درصد وزنی معادل نمک طعام می‌باشد که از ویژگی‌های شاخص سیالات کانه‌ساز سامانه‌های پورفیری هستند (Wilkinson, 2001). بر اساس شواهد سنگنگاری و مطالعات ریزدماسنجی مهم ترین عامل نهشت ماده معدنی در کانسار جانجا نیز فرایند اختلاط دو نوع سیال گرمابی و جوی و سرد شدن عادی سیالات گرمابی است که به دلیل تغییرات فشار و دما در اثر آمیختگی با آب‌های جوی رخداده و همواره به عنوان یکی از عوامل مهم در ایجاد کانه‌زایی‌های گرمابی و گرمابی- مagmaی معروف شده است. ویژگی‌های کانه‌زایی، دگرسانی، ژئوشیمیابی و میانبارهای سیال کانسار جانجا منطبق بر کانسارهای کالک‌آلکالن مس پورفیری حاشیه قاره‌ای می‌باشد.

### سپاسگزاری

بدین‌وسیله از خانم مهندس شیما افخمی به خاطر همکاری صمیمانه و همجنین مدیریت محترم شرکت تهیه و تولید مواد معدنی ایران (IMPASCO) به خاطر در اختیار گذاشتن داده‌ها و بسترسازی جهت انجام این پژوهش صمیمانه سپاسگزاری می‌گردد.

بررسی ویژگی‌های ژئوشیمیابی نمونه‌های معرف برداشت شده از توده نفوذی جانجا بیانگر وجود یک توده دیبوریتی، کوارتزدیبوریتی تا گرانودیبوریتی تیپ I در یک محیط زمین‌ساختی حاشیه قاره‌ای با سرشت کالک‌آلکالن در این کانسار است. براثر نفوذ این توده نیمه‌ژرف به درون واحدهای فیلیشی کرتاسه در اثر دگرگونی مجاورتی، سنگ درون گیر به هورنفلس تبدیل شده است و همچنین به دلیل فرایندهای گرمابی ناشی از نفوذ این توده نیمه‌ژرف، دگرسانی‌های مختلفی از جمله پتاسیک، فیلیک (سریستی شدن)، پروپیلیتیک و آرژیلیک در منطقه ایجاد شده است. در اولین مرحله، دگرسانی پتاسیک در مرکز سامانه کانه‌زایی تشکیل شده و گستردگی دگرسانی دیده شده در این کانسار می‌باشد. دگرسانی فیلیک با گسترش محدود و شدتی ضعیف، دگرسانی پتاسیک را متأثر کرده است و نشانه‌ای از یک پهنه گستردگی از این نوع دگرسانی در کانسار جانجا نیست. سپس دگرسانی پروپیلیتیک به صورت جزئی در حاشیه سامانه تشکیل شده است. دگرسانی آرژیلیک نیز به صورت محلی توسط فرایندهای بروز ایجاد شده است. سپس در اثر فعالیت سیالات جوی پهنه‌های کانه‌زایی اکسیدی در بخش بالایی کانسار تشکیل شده است. مطالعات میانبارهای سیال بر روی رگه‌های سیلیسی- سولفیدی مربوط به پهنه دگرسانی پتاسیک نیز نشان داده است که سیال کانه‌ساز دارای دمای

**گتابنگاری**

عبدالزاده، م.، ۱۳۸۵، مطالعه ژئوشیمیابی، کانه‌زایی و دگرسانی در کانسار مس دره‌زار، پایان‌نامه کارشناسی ارشد، دانشگاه شیراز، ۳۲۶ صفحه.

**References**

- Agard, P., Omrani, J., Jolivet, L., Whitechurch, H., Vrielynck, B., Spakman, W., and Wortel, R., 2011. Zagros orogeny: a subduction-dominated process. *Geological Magazine*, 148(5-6), 692-725. DOI: 10.1017/S001675681100046X.
- Aghazadeh, M., Hou, Z., Badrzadeh, Z., and Zhou, L., 2015. Temporal-spatial distribution and tectonic setting of porphyry copper deposits in Iran: constraints from zircon U-Pb and molybdenite Re-Os geochronology. *Ore Geol. Rev.* 70, 385–406. 10.1016/j.oregeorev.2015.03.003.
- Aliyari, F., Rastad, E., and Mohajjal, M., 2012. Gold Deposits in the Sanandaj-Sirjan Zone: Orogenic Gold Deposits or Intrusion-Related Gold Systems. *Resource Geology*, 62(3), 296-315. <https://doi.org/10.1111/j.1751-3928.2012.00196.x>.
- Asadi, S., Moore, F., and Zaravandi, A., 2014. Discriminating productive and barren porphyry copper deposits in the southeastern part of the central Iranian volcano-plutonic belt, Kerman region, Iran: a review. *Earth Sci. Rev.* 138, 25–46. DOI:10.1016/j.earscirev.2014.08.001.
- Audétat, A., and Günther, D., 1999. Mobility and H<sub>2</sub>O loss from fluid inclusions in natural quartz crystals. *Contributions to Mineralogy and Petrology*, 137(1), 1-14.
- Auditat, A., Pettke, T., Heinrich, C. A., and Bodnar, R. J., 2008. The composition of magmatic hydrothermal fluids in barren and mineralized intrusions. *Econ Geol*, 103, 877-908.
- Baker, T., Bickford, D., Juras, S., Lewis, P., Oztas, Y., Ross, K., and Creaser, R. A., 2016. The geology of the Kisladag porphyry gold deposit, Turkey. *Soc. Econ. Geologists Spec. Publ.* 19, 1-27.
- Becker, S. P., Fall, A., and Bodnar, R. J., 2016. Synthetic fluid inclusions. XVII. 1 PVTX properties of high salinity H<sub>2</sub>O-NaCl solutions (> 30 wt% NaCl): Application to fluid inclusions that homogenize by halite disappearance from porphyry copper and other hydrothermal ore deposits. *Economic Geology*, 103(3), 539-554. doi.org/10.2113/gsecongeo.103.3.539.
- Bodnar, R. J., and Samson, I., 2003. Introduction to fluid inclusions. *Fluid inclusions: Analysis and interpretation*, 32, 1-8.
- Bodnar, R. J., Lecumberri-Sánchez, P., Moncada, D., and Steele-MacInnis, M., 2014. Fluid inclusions in hydrothermal ore deposits. *Treatise on Geochemistry*, Second Editionth edn. Elsevier, Oxford, 119-142. <http://dx.doi.org/10.1016/b978-0-08-095975-7.01105-0>.
- Boomeri, M., 2014. Ore Deposits and indexes of Sistan Baluchestan province. 6th symposium of Iranian society of Economic Geology.
- Boomeri, M., Moradi, R., Stein, H., and Bagheri, S., 2019. Geology, Re-Os age, S and O isotopic composition of the Lar porphyry Cu-Mo deposit, southeast Iran. *Ore Geology Reviews*, 104, 477-494. DOI: 10.1016/j.oregeorev.2018.11.018.
- Camp, V.E., and Griffis, R.J., 1982. Character genesis and tectonic setting of igneous rocks in the Sistan suture zone, eastern Iran: *Lithos*, v. 15, p. 221- 239.
- Calagari, A. A., 2004. Fluid inclusion studies in quartz veinlets in the porphyry copper deposit at Sungun, East-Azarbaidjan, Iran. *Journal of Asian Earth Sciences*, England. v. 28, p. 179–189. DOI: 10.1016/S1367-9120(03)00085-3.
- Chappel, B. W., and White, A. J. R., 2001. Two contrasting granite types: 25 years later. *Australian Journal of Earth Sciences*, 48(4), 489-499. <https://doi.org/10.1046/j.1440-0952.2001.00882.x>.
- Cox, K. G., Bell, J. D., and Pankhurst, R. J., 1979. The interpretation of igneous rocks, George Allen and Unwin. <https://doi.org/10.1007/978-94-017-3373-1-3>.
- Footohi Rad, G.R., 2004. Petrology and geochemistry of metamorphosed ophiolites of east of Birjand, unpublished Ph.D Thesis, Tarbiat Moallem University of Tehran, Iran, 324 pp.
- Goldstein, R. H., Samson, I., Anderson, A., and Marshall, D., 2003. Petrographic analysis of fluid inclusions. *Fluid inclusions: Analysis and interpretation*, 32, 9-53.
- Hezarkhani, A., 2008. Hydrothermal evolution of the Miduk porphyry copper system, Kerman, Iran: a fluid inclusion investigation. *International Geology Review*, 50(7), 665-684.
- Hezarkhani, A., 2006. Petrology of the intrusive rocks within the Sungun porphyry copper deposit, Azerbaijan, Iran. *Journal of Asian Earth Sciences*, 27(3), 326-340. DOI: 10.1016/j.jseae.2005.04.005.
- Hou, M.D., Zhang, H.R., and Jia, J.W., 2013. New research on the genesis of Sungun porphyry Cu-Mo Deposit in Iran. *Geol. Sci. Technol. Inf.* 32 (5), 174–181. <https://doi.org/10.1016/j.oregeorev.2021.104013>.
- Imer, A., Richards, J. P., and Muehlenbachs, K., 2016- Hydrothermal evolution of the Çöpler porphyry-epithermal Au deposit, Erzincan province, central eastern Turkey. *Economic Geology*, 111(7), 1619-1658. DOI doi.org/ 10.2113/ econgeo .111.7 .1619.

- Irvine, T.N.J., and Baragar, W.R.A.F., 1971- A guide to the chemical classification of the common volcanic rocks. Canadian journal of earth sciences, 8(5), 523-548. <https://doi.org/10.1139/e71-055>.
- Karimpour, M. H., Malekzadeh Shafaroudi, A., Stern, C. R., and Farmer, L., 2012. Petrogenesis of Granitoids, U-Pb zircon geochronology, Sr-Nd isotopic characteristic and important occurrence of Tertiary mineralization within the Lut Block, Eastern Iran. Journal of Economic Geology, 4(1), 1-27.
- Kou, G.Y., Xu, B., Zhou, Y., Zheng, Y. Ch., Hou, Z.Q., Zhou, L.M., Zhang, Y.F., and Yu, J. X., 2021- Geology and petrogenesis of the Sungun deposits: Implications for the genesis of porphyry-type mineralization in the NW Urumieh–Dokhtar magmatic Arc, Iran. Ore Geology Reviews, 131, 104013. doi.org/10.1016/j.oregeorev.2021.104013.
- Kouzmanov, K., Pokrovski, G. S., Hedenquist, J. W., Harris, M., and Camus, F., 2012. Hydrothermal controls on metal distribution in porphyry Cu (-Mo-Au) systems. Soc. Econ. Geol. Spec. Publ, 16, 573-618.
- Large, R.R., Huston, D.M., Goldrick, P., and Tuxton, P.A., 1989. Gold distribution and genesis in Australian volcanogenic massive sulfide deposits and their significance for gold transport models. Economic Geology Monographs, 6(1): 520–535. DOI: <https://doi.org/10.5382/Mono.06.40>.
- Lecumberri Sanchez, P., 2013. Spatial and temporal evolution of fluids in hydrothermal ore deposits (Doctoral dissertation, Virginia Tech).
- Maanijou, M., Mostaghimi, M., Abdollahy-Riseh, M., Sepahi-Gerow, A.A., 2013. Systematic sulfur stable isotope and fluid inclusion studies on veinlet groups in the Sarcheshmeh porphyry copper deposit: based on new data. Economic Geology 4, 217-239. 10.22067/ECONG. V4I2.16492.
- McInnes, B.I.A., Evans, N.J., Belousova, E., Griffin, W.T., and Andrew, R.L., 2003. Timing of mineralization and exhumation processes at the Sar Cheshmeh and Meiduk porphyry Cu deposits, Kerman belt, Iran. In: Eliopoulos (Ed.), Mineral Exploration and Sustainable Development (7th Biennial SGA Meeting Athens, August 24–28). Millpress, Rotterdam, pp. 1197–1200.
- Mohajjel, M., and Fergusson, C.L., 2014. Jurassic to Cenozoic tectonics of the Zagros Orogen in northwestern Iran. International Geology Review, 56:3, 263-287. <https://doi.org/10.1080/00206814.2013.853919>.
- Mohajjel, M., Fergusson, C. L., and Sahandi, M. R. 2003. Cretaceous–Tertiary convergence and continental collision, Sanandaj–Sirjan zone, western Iran. Journal of Asian Earth Sciences, 21(4), 397-412. [https://doi.org/10.1016/S1367-9120\(02\)00035-4](https://doi.org/10.1016/S1367-9120(02)00035-4).
- Mohammadi, A., Burg, J. P., Bouilhol, P., and Ruh, J., 2016. U-Pb geochronology and geochemistry of Zahedan and Shah Kuh plutons, southeast Iran: Implication for closure of the South Sistan suture zone. Lithos, 248, 293-308. DOI: [10.1016/j.lithos.2016.02.003](https://doi.org/10.1016/j.lithos.2016.02.003).
- Pearce, J. A., Harris, N. B., and Tindle, A. G., 1984. Trace element discrimination diagrams for the tectonic interpretation of granitic rocks. Journal of petrology, 25(4), 956-983. DOI: [10.1093/petrology/25.4.956](https://doi.org/10.1093/petrology/25.4.956).
- Peccerillo, A., and Taylor, S. R., 1976. Geochemistry of Eocene calc-alkaline volcanic rocks from the Kastamonu area, northern Turkey. Contributions to mineralogy and petrology, 58(1), 63-81. <https://doi.org/10.1007/BF00384745>.
- Pars Olang, 2016, Final report of the preliminary phase of Janja area.
- Razique, A., Tosdal, R. M., and Creaser, R. A., 2014. Temporal evolution of the western porphyry Cu-Au systems at Reko Diq, Balochistan, western Pakistan. Economic Geology, 109(7), 2003-2021. DOI: [10.2113/econgeo.109.7.2003](https://doi.org/10.2113/econgeo.109.7.2003).
- Richards, J. P., and Sholeh, A., 2016. The Tethyan tectonic history and Cu-Au metallogeny of Iran. Economic Geology, Special Publication 19: 193–212.
- Richards, J. P., 2015. Tectonic, magmatic and metallogenic evolution of the Tethyan Orogen: From subduction to collision, Ore Geology Reviews, 70: 323–345. <https://doi.org/10.1016/j.oregeorev.2014.11.009>.
- Richards, J. P., Wilkinson, D., and Ullrich, T., 2006. Geology of the Sari Gunay epithermal gold deposit, northwest Iran. Economic Geology, 101(8), 1455-1496. <https://doi.org/10.2113/gsecongeo.101.8.1455>.
- Roedder, E., and Bodnar, R. J., 1980. Geologic pressure determinations from fluid inclusion studies. Annual review of earth and planetary sciences, 8(1), 263-301. doi:10.1146/annurev.ea.08.050180.001403.
- Rusk, B. G., Reed, M. H., Dilles, J. H., Klemm, L. M., and Heinrich, C. A., 2004. Compositions of magmatic hydrothermal fluids determined by LA-ICP-MS of fluid inclusions from the porphyry copper–molybdenum deposit at Butte, MT. Chemical Geology, 210(1-4), 173-199.
- Sahandi, R., 2013. Structural geology map of Iran (1:1000000 scale). Geol. Surv. Of Iran. Sawkins, F.J., 1990. Metal deposits in relation to plate tectonics. vol. 17. Springer-Verlag, Berlin, pp. 14–60.
- Shahabpour, J., 2008. Aspects of alteration and mineralization at the Sar Cheshmeh copper-molybdenum Deposit, Kerman, Iran: Unpub Ph.D. thesis Leeds University, 342 pp.

- Shand, S. J., 1943. Eruptive rocks: their genesis, composition, and classification, with a chapter on meteorites. *J. Siahcheshm*, K., Calagari, A. A., and Abedini, A., 2014. Hydrothermal evolution in the Maher-Abad porphyry Cu–Au deposit, SW Birjand, Eastern Iran: evidence from fluid inclusions. *Ore Geology Reviews*, 58, 1-13.
- Taghipour, N., Aftabi, A., and Mathur, R., 2008. Geology and Re-Os geochronology of mineralization of the Miduk porphyry copper deposit, Iran. *Resour. Geol.* 58, 143–160. <https://doi.org/10.1111/j.1751-3928.2008.00054.x>.
- Tirrul, R., Bell, I.R., Griffis, R.J. and Camp, V.E., 1983. The Sistan suture zone of eastern Iran. *Geological Society of America Bulletin* 94, 134–150. [https://doi.org/10.1130/0016-7606\(1983\)94<134:TSSZOE>2.0.CO;2](https://doi.org/10.1130/0016-7606(1983)94<134:TSSZOE>2.0.CO;2).
- Waterman, G.C., and Hamilton, R.L., 1975. The Sar-Cheshmeh porphyry copper deposit. *Econ. Geol.* 70, 568–576. <https://doi.org/10.2113/gsecongeo.70.3.568>.
- Whitney, D. L., and Evans, B. W., 2010. Abbreviations for names of rock-forming minerals. *American Mineralogist*, 95 (1). 185-187. doi:10.2138/am.2010.3371.
- Wilkinson, J.J., 2001. Fluid inclusions in hydrothermal ore deposits. *Lithos*, 55(1-4), 229-272. [https://doi.org/10.1016/S0024-4937\(00\)00047-5](https://doi.org/10.1016/S0024-4937(00)00047-5).
- Zarasvandi, A., Liaghat, S., and Zentilli, M., 2005. Geology of the Darreh-Zerreshk and Ali-Abad porphyry copper deposits, Central Iran. *International Geology Reviews* 47, 620-646. DOI: 10.2747/0020-6814.47.6.620.
- Zarasvandi, A., Rezaei, M., Raith, J., Lentz, D., Azimzadeh, A. M., and Pourkaseb, H., 2015. Geochemistry and fluid characteristics of the Dalli porphyry Cu–Au deposit, Central Iran. *Journal of Asian Earth Sciences*, 111, 175. <https://doi.org/10.1016/j.jseaes.2015.07.029>.

## Original Research Paper

# Geology, mineralization, alteration and fluid inclusion studies of the Janja porphyry Cu-Mo deposit, Sistan suture zone, SE Iran

Nima Rahimi<sup>1</sup>, Shojaeddin Niroomand<sup>1\*</sup>, Mohammad Lotfi<sup>1</sup> and Mojtaba Rahimi Shahid<sup>2</sup>

<sup>1</sup>Department of Economic Geology, Faculty of Geology, University of Tehran, Tehran, Iran

<sup>2</sup>Department of Geology, Faculty of Science, Ferdowsi University of Mashhad, Mashhad, Iran

## ARTICLE INFO

### Article history:

Received: 2021 February 21

Accepted: 2022 January 11

Available online: 2022 September 23

### Keywords:

Sistan Suture Zone

Cu-Mo porphyry deposit

Janja

Fluid Inclusion

Mixing

## ABSTRACT

The Janja Cu-Mo porphyry deposit is located at 70 km south of the Nehbandan, Sistan suture zone, Eastern Iran. The porphyry mineralization in the Janja deposit is temporally and spatially associated with the diorite to quartz diorite and granodiorite granular to porphyry stocks that intruded in the Cretaceous flysch units. The Janja intrusions are represented by a Calc-alkaline and metaluminous geochemical affinity, and belong to the I-type granitoid series and subduction-related magmas in composition. Hydrothermal alterations in the area have been completely influenced by the Janja intrusion and as a result of the activity of these hydrothermal fluids, various types of potassic, propylitic, argillic and rarely phyllitic alteration zones have been formed. In this deposit, three mineralization styles have been recognized including disseminated, vein-veinlet and stockwork which mineralization is mainly associated with potassic alteration. Mineralization zones in porphyry systems, including the supergene, enriched and hypogene zone, have been identified in the Janja deposit, which are the result of changes in the water table, weathering and erosion effects. The main sulfide minerals consist of chalcopyrite, pyrite, covellite, chalcocite, molybdenite, bornite, and oxide minerals including magnetite, hematite, goethite and hydro carbonate minerals including malachite and azurite. Fluid inclusion studies showed a homogenization temperature range from 301 to 540 °C and a mean salinity of 19 wt%NaCl for two-phase inclusions and a homogenization temperature range between 254 and >550 °C and mean salinities of 54 wt % NaCl for multiphase fluid inclusions. The results of these studies show that mixing processes have taken place in the Janja deposit and have caused the deposition of Cu-Mo-(Au) mineralization. Eventually, according to the various characteristics of the Janja deposit, including tectonic environment, host rock, mineralogy, ore-forming fluid, metal ore assemblage, mineralization and alteration patterns, and comparison of these characteristics with other porphyry deposits, it can be concluded that mineralization in Janja deposit is comparable with continental margin-type porphyry Cu-Mo-(Au) deposits.

\* Corresponding author: Shojaeddin Niroomand; E-mail: Niroomand@ut.ac.ir

E-ISSN: 2645-4963; Copyright©2021G.S. Journal & the authors. All rights reserved.

 doi: 10.22071/GSJ.2022.274408.1889



doi: 10.1001.1.10237429.1401.32.3.6.0



This is an open access article under the by-nc/4.0/ License (<https://creativecommons.org/licenses/by-nc/4.0/>)